ELECTRIQUE

PUBLICATION

SOCIÉTÉ DES AMIS

T.S.F.



SOMMAIRE

Raymond MAILLET

Étude analytique de l'émission et de la modulation par lampes triodes.

D' Balth. VAN DER POL et K. POSTHUMUS

Au sujet du rendement des triodes.

E.-W. KELLOG

Construction d'amplificateurs de puissance sans distorsion.

Léon DELOY

Remarques et hypothèses sur le «fading».

Chronique du mois -:- Informations -:- Analyses

Table des matières du Tome IV.

Étienne CHIRON, Éditeur

: # 40. rue de Seine :: :: PARIS :: :: Fleurus 47-49 :: ::

L'ONDE ÉLECTRIQUE

Revue mensuelle publiée par les Amis de la T. S. P.

ABONNEMENT D'UN AN

France 30 fr. Étranger 35 fr.

Étienne CHIRON

40, RUE DE SEINE, PARIS CHÉQUES POSTAUX: PARIS 53-35 PRIX

DU NUMÉRO : 3 francs Tél : FLEURUS 47-49

SOCIÉTÉ DES AMIS DE LA T. S. F.

FONDATEURS

H. ABRAHAM, A. E. Professeur à la Sorbonne Membre

J. CORNU,
Chaf de batallem du Génie en retraste
Administrateur Directeur de la
str d'Études et de Hecherches industrielles.

Société des Ingénieurs Coloniaux

A. BLONDEL, Membre de l'Institut

Général FERRIÉ.

Membre de l'Institut

A. PÉROT,
Professeur à l'École Polytechnique.

P. BRENOT,

Directeur à la Compagnic Générale
de Télégraphie sans Fil

J. PARAF,

Directeur de la Société
des Forces Motrices de la Vienne

COMITÉ DE PATRONAGE

MM.

- † Georges LEMOINE, président de l'Académie des Sciences
- † I. E BERTIN, vice-président de l'Académie des Sciences.
- Alfred LACROIX, secrétaire perpétuel de l'Académie des Sciences
- Emile PICARD, secrétaire perpétuel de l'Académie des Sciences.
- Henri DFSLANDRES ancien président de l'Académie des Sciences.
- BI OT GARNIFR président de l'Union des Horlogers de France
- Henri BOUSQUET, président du Conseil d'administration de la Compagnie Générale de Télégraphie sans Fil.
- Gabriel CORDIFR. président de l'Union des Industries métallurgiques et minières. J. DAI, PIAZ, président du Conseil d'administration de la Compagnie Générale Transatlantique

MM.

- S. DERVILLÉ, président du Syndicat des Chemins de fer de Ceinture de Paris
- Charles FERRAND, président de la Chambre syndicale des Constructeurs de Navires.
- Hubert GIRAUD, administrateur-délégué de la Société Générale de Transports Maritimes à Vapeur
- Société des Ingénieurs Coloniaux
- J. LE CESNE, président de l'Union Coloniale française
- Raynald LEGOUEZ, président de l'Union des Syndicats de l'Electricité.
- A MESSIMY, ancien ministre.
- Denis PEROUSE, président du Syndicat des Armateurs de France
- J-B POMEY, inspecteur général des Postes et Télégraphes.



INSTITUT DE T.S.F.

DE

L'ÉCOLE DU GÉNIE CIVIL



Fondée en 1905 - J. GALOPIN, * 1, Ingénieur-Directeur

152, avenue de Wagram, PARIS-17

COURS SUR PLACE. — COURS PAR CORRESPONDANCE

P. T. T.: Diplômes d'opérateurs de 1re et 2' classe.

Marine marchande : Brevets d'officiers.

Marine militaire: Manipulants, lecteurs au son, chefs de poste.

Armée: Manipulants et lecteurs au son pour le 8º Génie et l'Aviation, chefs de poste

et élèves officiers.

Amateurs: Diplôme spécial délivré par l'Ecole.

Brochure nº 806 gratis.

SOCIETÉ DES AMIS DE LA T. S. F.

Avis aux Sociétaires

RENOUVELLEMENT DES COTISATIONS POUR 1926

Dans le but de faciliter les opérations de recouvrement des cotisations et de supprimer les frais considérables d'encaissement par la poste, les membres de la Société sont instamment priés de vouloir bien adresser dès maintenant leurs cotisations pour 1926 (aulant que possible par chèque postal pour la France), à

Monsieur le Trésorier des Amis de la T. S. F. 3, rue d'Antin, PARIS (2°)

Compte de chèques postaux nº 697.38.

Prière d'indiquer en même temps son numéro d'inscription qui se trouve sur la carte de sociétaire et sur l'adresse d'envoi de l'Onde Électrique ou de la T. S. F. pour tous.

Nous rappelons que les cotisations sont de :

- 25 francs pour les particuliers membres titulaires recevant L'ONDE ÉLECTRIQUE seulement;
- 35 francs pour les particuliers membres titulaires recevant L'Onde Électrique et la T. S. F. pour tous.
- 100 francs pour les collectivités membres titulaires.
 - 15 francs pour les membres associés recevant la T. S. F. pour lous.

La cotisation des membres titulaires qui, âgés de moins de 21 ans, sont en cours d'études ou de préparation professionnelle, est réduite à 15 francs ou 25 francs selon qu'ils recoivent L'ONDE ÉLECTRIQUE seulement ou les deux revues.

Les membres résidant à l'étranger doivent verser, pour frais postaux, un supplément de 6 francs ou de 12 francs suivant qu'ils reçoivent une ou deux revues.

ÉTUDE ANALYTIQUE DE L'ÉMISSION ET DE LA MODULATION PAR LAMPES TRIODES

Par Raymond MAILLET.

Ingénieur au Corps des Mines.

SOMMAIRE. — Dans les premières études sur les générateurs à triodes, on s'est occupé presque exclusivement du fonctionnement à la limite d'entretien : sur la caractéristique réduite, le point représentatif se déplace alors, au cours d'une période, tout au long de la branche ascendante, mais ne s'engage pas sur les branches horizontales.

On peut obtenir des rendements plus élevés en sécartant de ce fonctionnement limite. D. C. Prince (*) a étudié le cas ou le point représentatif s'engage sur la branche horizontale inférieure, et le lieutenant de vaisseau Blanchard (*) celui ou ce point s'engage successivement sur les deux branches horizontales, alois pendant une fraction de période, le courant dans le circuit de plaque est nul, il y conserve au contraire la valeur de saturation pendant une autre fraction de la période Chaque cas de fonctionnement est défini par les valeurs numériques de deux parametres par exemple, le maximum et le minimum de la tension totalisée, ou encore les phases τ et β , de Blanchard, auxquelles le courant plaque atteint et abandonne la valeur zéro et la valeur de saturation.

On se propose de reprendre ici l'étude faite par le lieutenant de vaisseau Blanchard, en modifiant certaines de ses hypothèses et en apportant des tables numériques. Dans une deuxième partie, on s'efforcera de serrer la réalité de plus près en tenant compte des phénomenes énergétiques dans le circuit grille Enfin, en dernier lieu, on aboidera le problème de la modulation qui se pose ainsi Quelle sera, pour une valeur donnée quelconque du parametre de modulation, la puissance utile fournie par le générateur?

1. Notations. — La branche ascendante d'une caractéristique de triode est une courbe à longue inflexion, assimilable sans erreur importante à sa tangente d'inflexion. Soient f la pente de cette tangente (« Steilheit » des auteurs de langue germanique) et g la conductance maximum de plaque. Ces deux constantes se relient au coefficient d'amplification K et à la résistance intérieure minima ρ par les relations évidentes :

$$g = \frac{1}{\rho}$$
; $f = \frac{K}{\rho}$; $\rho = \frac{b}{g}$; $K = \frac{f}{g}$

Soient encore w la tension de grille et v la tension de plaque à l'instant t; s l'intensité de saturation. On peut désigner sous le nom de paramètre caractéristique la grandeur z définie par la relation

$$z = \frac{f w + g v}{s}.$$

⁽¹⁾ D. C. Prince. Vacuum tubes as power oscillators, Proceedings of the Institude of Radio Engineers, juin, aout et octobre 1923

^(*) Lieutenant de vaisseau Blanchard Etablissement des avant projets d'émetteurs à triodes, L'Onde Electrique juillet 1924.

Soit i l'intensité dans le circuit plaque. La caractéristique de la triode est définie par les trois relations suivantes :

(2)
$$\begin{cases} i = 0 & \text{pour } z \leq 0 \\ i = zs & \text{pour } 0 \leq z \leq 1 \\ i = s & \text{pour } z \geq 1. \end{cases}$$

La dernière égalité n'est toutefois vérifiée que si le courant de grille reste faible, c'est-à-dire si le rapport $\frac{w}{v}$ ne devient pas trop fort. Ce point sera soigneusement précisé plus loin.

- 2. Forme des oscillations. Soient ω la pulsation propre du circuit oscillant dans lequel la triode entretient des oscillations; j la valeur instantanée de l'intensité dans ce circuit oscillant.
- I. Pendant une première fraction de la période, le paramètre caractéristique est négatif et, à l'exception de l'intensité dans le circuit plaque qui reste nulle

$$(3) i = 0,$$

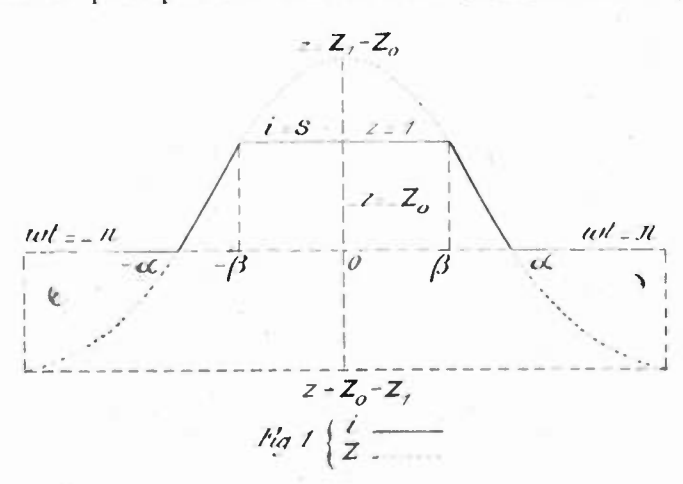
toutes les grandeurs périodiques attachées au système (j, v, w, z, par exemple) sont régies par une loi de la forme

(4)
$$\frac{d^2 *}{dt^2} + 2 \delta \frac{d *}{dt} + \omega^2 (* - *_0) = 0$$

ô désignant le facteur d'amortissement du circuit oscillant. On peut négliger en pratique ô² devant ω² et la loi intégrale est de la forme

(5)
$$*-*_{0} = K_{1} e^{-\delta t} \cos(\omega t + K_{2})$$

mais δt reste petit pendant toute la durée de la fraction de période



pourvu que δ ne soit pas trop grand ni ω trop faible, et on conserve alors une très bonne approximation en posant simplement

(6)
$$* - *_0 = K_1 \cos(\omega t + K_2)$$

II — Pendant une seconde fraction de période, le paramètre caractéristique z croît de zéro à un. Toutes les grandeurs attachées au système, y compris l'intensité i dans le circuit de plaque

$$(7) i = zs$$

sont régies par une loi de la forme

(8)
$$\frac{\mathrm{d}^2 *}{\mathrm{d} t^2} + 2(\delta - \gamma) \frac{\mathrm{d} *}{\mathrm{d} t} + \omega^2 (* - *_0) = 0$$

la pulsation ω conservant pratiquement la valeur qu'elle avait dans la formule (4), tant que la résistance interne de la triode reste grande vis-à-vis de la résistance totale d'amortissement du circuit oscillant. Dans l'équation (8) γ représente le facteur d'accroissement et l'incré-

ment $\frac{2\pi\gamma}{\omega}$ est supérieur au décrément $\frac{2\pi\delta}{\omega}$ puisque, par hypothèse, il

y a entretien des oscillations. Mais $(\gamma-\delta)^2$ n'en est pas moins négligeable devant ω^2 et la loi intégrale est donc de la forme

(9)
$$*- *_{\upsilon} = K_{t} e^{(\gamma - \delta)t} \cos(\omega t + K_{z})$$

et ici encore on conserve une très bonne approximation en posant

(10)
$$* - *_0 = K_1 \cos(\omega t + K_2)$$

pourvu que l'incrément $\frac{2\pi\gamma}{\omega}$ ne soit pas trop grand, ce qui revient à dire que la deuxième fraction de période ne doit pas être trop courte : en notations du lieutenant de vaisseau Blanchard, l'angle β ne doit pas être trop voisin de l'angle α .

III. — Pendant la troisième fraction de période, le paramètre caractéristique z reste supérieur à l'unité et les circonstances sont identiques à celle de la première fraction de période, à cela près que l'intensité de plaque au lieu d'être nulle est égale à sa valeur de saturation.

$$(11) i = s.$$

IV. — Enfin, pendant la quatrième fraction de période, le paramètre caractéristique z décroît de ι à 0, et tout ce qui a été dit de la seconde fraction de période s'applique sans modification.

De l'étude précédente, il résulte que toutes les grandeurs attachées au circuit oscillant, ainsi que le paramètre caractéristique z, obéissent, dans chaque fraction de période, à une loi sinusoïdale

(6-10)
$$* - *_0 = K_1 \cos(\omega t + K_2)$$

(*, désignant bien entendu la valeur statique de *). Les conditions de continuité aux limites des fractions de période exigent que l'amplitude K_1 et la phase K_2 attachées à une grandeur * soient les mêmes pour toutes les fractions de période. En d'autres termes, les grandeurs * attachées au circuit oscillant, telles que : $\left(j,\frac{\mathrm{d}j}{\mathrm{d}t},\int j\,\mathrm{d}t\right)$

 $v, w, z, \frac{\mathrm{d}z}{\mathrm{d}t}$ sont des fonctions sinusoidales simples, sous réserve des approximations faites plus haut. Pratiquement donc, les termes harmoniques des * sont négligeables. Il en va tout autrement de l'intensité de plaque i, comme il résulte du rapprochement des trois formules (3), (10) et (11). On voit en outre que, entre les branches horizontales i=0 et i=s de la courbe i(t), la branche inclinée est un arc de sinusoide et non pas un segment de droite comme le lieutenant de vaisseau Blanchard le suppose (loc. cit.). Cette simplification, légitime lorsque $(\alpha-\beta)$ est assez faible sans que β soit trop petit, conduit dans le cas contraire à des erreurs inadmissibles. C'est ainsi que dans le fonctionnement à la limite d'entretien, qui correspond, on s'en assurerait aisément, à

$$\alpha = \pi \quad \beta = 0$$

la formule (24) de Blanchard donne pour le rendement la valeur

$$\rho = \left(1 - \frac{P}{v_0}\right) \frac{2\left(\cos\beta - \cos\alpha\right)}{\alpha^2 - \beta^2} = \frac{v_1}{v_0} \frac{4}{\pi^2}$$

voisine de 0.4 $\frac{v_1}{v_0}$, alors que la vraie valeur de ρ est 0.5 $\frac{v_1}{v_0}$ (cf. Gutton, La lampe a trois électrodes), plus forte de 25 pour 100 que la valeur calculée d'après Blanchard.

3 Fractionnement de la période. — Soient $V_{\scriptscriptstyle 0}$ et — $W_{\scriptscriptstyle 0}$ les tensions constantes appliquées à la plaque et à la grille de la triode; $V_{\scriptscriptstyle 1}$ et $W_{\scriptscriptstyle 1}$ désignant les amplitudes des oscillations des potentiels de ces deux électrodes.

En faisant la seule hypothèse que les tensions grille met plaque v sont en opposition de phases, on peut écrire :

$$u = -W_0 + W_1 \cos \omega t$$

$$i = V - V_1 \cos \omega t.$$

En posant d'ailleurs

$$Z_{c} = \frac{f \, \mathbf{W}_{0} - g \, \mathbf{V}_{0}}{s}$$

$$Z_{i} = \frac{\int \mathbf{W}_{i} - g \, \mathbf{V}_{i}}{s}$$

on a:

$$z = -Z_0 + Z_1 \cos \omega t.$$

Le courant de plaque i abandonne la valeur zéro au temps $t'=-\frac{\alpha}{\omega}$ et y revient à l'instant $t'=\frac{\alpha}{\omega}$ l'angle α étant défini par la condition

z=0

d'où

$$\cos \alpha = \frac{Z_0}{Z_1}.$$

Le courant de plaque garde sa valeur de saturation pendant l'intervalle $\left(t''=-\frac{\beta}{\omega},\ t''=\frac{\beta}{\omega}\right)$ avec, pour définir l'angle β , la condition z=1 d'où

$$\cos \beta = \frac{\mathbf{I} + Z_0}{Z_1}.$$

Aux paramètres α et β de Blanchard, on peut substituer leur somme φ et leur différence θ . La somme :

$$\varphi = \alpha + \beta$$

est dite angle moyen d'ouverture du courant plaque (Blanchard); d'ailleurs :

$$0 = x - \beta$$

est l'angle d'action du courant plaque. Des relations (17) et (18) on déduit :

(21)
$$2Z_0 + 1 = \cot g \frac{\varphi}{2} \cot g \frac{\theta}{2}$$

(22)
$$2 Z_i = \operatorname{cosec} \frac{\varphi}{2} \operatorname{cosec} \frac{\theta}{2}$$

(23)
$$Z_{i} - Z_{0} = \frac{1}{2} \left(1 - \cot g \frac{\varphi}{2} \cot g \frac{\theta}{2} + \csc \frac{\varphi}{2} \csc \frac{\theta}{2} \right).$$

4. Puissance totale, puissance utile et rendement. — La puissance totale T débitée par la source anodique de force électromotrice $V_{\scriptscriptstyle 0}$ est :

$$T = \frac{\omega}{2\pi} \int_{-\frac{\tau}{\omega}}^{+\frac{\pi}{\omega}} V_0 i dt$$

ou

$$T = \frac{1}{\pi} \int_{0}^{\alpha} V_{0} i d(\omega t)$$

l'intégration est immédiate et en posant

$$T = M V_0 s$$

on trouve pour le facteur de puissance totale M l'expression

(25)
$$M = \frac{1}{\pi} \left[\frac{\varphi}{2} + \cot g \frac{\varphi}{2} \left(1 - \frac{\theta}{2} \cot g \frac{\theta}{2} \right) \right]$$

D'ailleurs $V_t\cos\omega t$ est la force contre électromotrice qui, s'opposant au passage du courant plaque, produit la puissance utile U

$$U = \frac{\omega}{2\pi} \int_{-\frac{\pi}{\omega}}^{+\frac{\pi}{\omega}} V_1 \cos \omega t \cdot i \cdot dt$$

$$\mathbf{U} = \frac{\mathbf{I}}{\pi} \int_{0}^{\mathbf{y}} \mathbf{V}_{i} \cos \omega t \ i.d(\omega t)$$

L'intégration ne souffre pas de difficulté et en posant

$$(26) U = F V_1 s$$

on trouve pour le facteur de puissance utile F l'expression

(27)
$$F = \frac{1}{4\pi} \frac{\theta - \sin \theta \cos \varphi}{\sin \frac{\theta}{2} \sin \frac{\varphi}{2}}$$

la puissance dissipée en chaleur sur l'anode est :

$$(28) T - U = s (M V_0 - F V_i)$$

et le rendement de l'émetteur à triode est :

$$\rho = \frac{U}{T} = \frac{F}{M} \cdot \frac{V_i}{V_o}.$$

Dans la formule précédente, on ne fait entrer en ligne de compte ni les pertes grilles ni la consommation du filament. Or, pour les triodes de petite et moyenne puissance, il faut, pour maintenir le filament à l'incandescence, dépenser une puissance égale environ au quart de la puissance maximum dissipable par l'anode. D'ailleurs, pour que p soit voisin de l'unité, il faut que U soit faible et le rendement total — compte tenu de la perte filament — est alors médiocre. Aussi ne recherchera-t-on pas de fonctionnements à trop faible ouverture q.

5. L'impossible condition. — Les formules précédentes montrent que, toutes choses égales d'ailleurs, il y a intérêt à rendre l'amplitude V₄ aussi grande que possible. Mais il est impossible en fait

d'accroître indéfiniment cette amplitude et V_i doit rester sensiblement inférieur à V_0 , afin que, alors que z est maximum, le rapport $\frac{w}{v}$ ne soit pas excessif, et qu'en d'autres termes, le courant grille reste négligeable vis à-vis du courant plaque i.

La condition à satisfaire :

$$\frac{w}{v} \leqslant \varepsilon$$

E désignant le coefficient de Prince, s'écrit ici :

$$\frac{W_{i}-W_{0}}{V_{0}-V_{i}} \leq \varepsilon$$

et si l'on y remplace les W par leurs valeurs tirées de (14) et (15) il reste :

$$(Z_1 - Z_0) \frac{s}{\epsilon f + g} \leqslant V_0 - V_1.$$

Blanchard propose pour la tension de plaque perdue la valeur

$$P = \frac{V_s}{I + \varepsilon K}$$

qui, avec les notations actuelles, s'écrit :

$$V_0 - V_4 = \frac{s}{\varepsilon f + g}.$$

En rapprochant cette relation de la condition (31) on écrit celle-ci sous la forme simple :

$$(34) Z_1 - Z_0 < 1.$$

Or, $Z_1 - Z_6$ reste toujours supérieur à l'unité si l'angle β est réel et différent de zéro. Il est impossible de satisfaire à cette condition, sauf en faisant $\beta = 0$, car il vient alors :

$$Z_1 - Z_2 = 1$$
.

L'impossibilité précédente est d'ailleurs évidente sans calculs : la formule de Blanchard (32) s'obtient en écrivant que le rapport $\frac{w}{v}$ est égal au coefficient de Prince : lorsque le paramètre caractéristique z est égal à l'unité : si on fait alors croître z au delà de l'unité en ajoutant à la tension grille w sans modifier la tension de plaque v, il est évident que le rapport $\frac{w}{v}$ croît au delà de sa valeur initiale z, et que la condition de Prince ne peut plus être satisfaite si on conserve pour la tension de plaque perdue la valeur de Blanchard

Le problème devient possible dans le cas où l'angle \beta est imagi-

naire ou nul, c'est-à-dire dans le cas où la troisième fraction de période (z > 1) disparaît.

C'est l'hypothèse dans laquelle se place Prince quand il écrit (loc. cit)

$$(35) \qquad z = (1+\epsilon)\cos\omega t - \epsilon.$$

On ne s'imposera pas ici cette restriction. En continuant a désigner par P la grandeur calculée par la formule de Blanchard

$$(36) P = \frac{5}{\epsilon f + g}$$

on adoptera pour la tension de plaque perdue la valeur

$$(37) N = P(Z_1 - Z_0)$$

qui permet de satisfaire la condition de Prince réduite a l'égalité

limite
$$\frac{w}{v} = z$$

6. Établissement du projet d'émetteur. — Les données du problème forment trois groupes :

Premier groupe. — Des grandeurs attachées au circuit oscillant : sa pulsation ω et sa résistance totale d'amortissement R, somme de la résistance ohmique, de la résistance de rayonnement et éventuellement de toutes les autres résistances équivalentes aux différentes pertes.

Deuxième groupe. - Des grandeurs attachées à la triode :

Sa pente f.

Sa conductance maximum de plaque g.

Son courant de saturation s;

La constante de Blanchard P.

Le maximum admissible A pour la tension anodique.

Le maximum admissible Q pour l'énergie dissipée à l'anode

De cette grandeur Q on tire le coefficient limite de dissipation

interne C par la relation $C = \frac{Q}{V_{\theta} s}$.

Troisième groupe. — Les angles 0 et 7, que l'on peut choisir arbitrairement à l'intérieur du domaine

ou sur les frontières de ce domaine. Les formules :

$$M = \frac{1}{\pi} \left[\frac{9}{2} + \cot g \frac{\varphi}{2} \left(1 - \frac{\theta}{2} \cot g \frac{\theta}{2} \right) \right]$$

$$F = \frac{1}{4\pi} \frac{0 - \sin \theta \cos \psi}{\sin \frac{\theta}{2} \sin \frac{\varphi}{2}}$$

$$2Z_0 + 1 = \cot g \frac{\theta}{2} \cot g \frac{\theta}{2}$$

$$_2Z_1 = cosec \frac{\theta}{2} cosec \frac{\varphi}{2}$$

permettent de calculer M, F, Z_0 , Z_1 et $Z_1 - Z_0$. En fait on tirera les valeurs de ces grandeurs des tables ou de l'abaque que nous donnons plus loin.

La tension statique de plaque V_0 sera en général prise égale au maximum admissible A.

La tension de plaque perdue sera réduite au minimum possible :

$$(P_1) \qquad \qquad N = P(Z_1 - Z_0)$$

d'ailleurs

$$(P2) V_1 = V - N$$

Avant d'aller plus avant on s'assurera que l'énergie dissipée sur l'anode n'excède pas le maximum admissible Q:

$$MV_0s - FV_1s < CVs$$

condition qui se réduit à :

$$M - \left(1 - \frac{N}{V_0}\right) F \leqslant C.$$

Si cette condition n'était pas satisfaite, il faudrait retoucher les valeurs choisies pour θ et ϕ , et réduire l'angle moyen d'ouverture du courant plaque ϕ . La condition étant satisfaite, on tirera W_0 et W_1 des équations (14) et (15) ce qui donne :

$$(P3) W_0 = \frac{s Z_0 + g V_0}{f}$$

$$(\mathbf{P}_4) \qquad \qquad \mathbf{W}_1 = \frac{8 \, \mathbf{Z}_1 + g \, \mathbf{V}_1}{f}$$

Les puissances totale T et utile U se tireront des relations (24) et (26),

$$(P5) T = MV_0s$$

$$(P6) U = FV_{t}s.$$

L'intensité maximum J du courant oscillant principal sera donné par :

$$(P7) J = \sqrt{\frac{2U}{R}}$$

l'intensité efficace Jest étant d'ailleurs :

$$J_{\text{eff}}\!=\!\!\sqrt{\frac{\overline{U}}{R}}.$$

Les modules X et Y des résistances complexes $Xe^{i\Xi}$ et Ye^{iY} dans lesquelles le passage du courant oscillant principal provoque l'apparition des tensions $W_i \cos \omega t$ et $-V_i \cos \omega t$ sont alors donnés par :

$$(P 8) X = \frac{V_1}{J}$$

$$(P g) Y = \frac{W_t}{J}.$$

Les phases E et 1 ne sont pas exactement déterminées. Seule leur différence doit satisfaire la condition :

$$\Xi - 1 = \pi$$

afin que w et v soient bien en opposition de phases comme on l'a postulé au début de cette étude.

Il y a lieu d'ajouter que, si le courant de plaque i traverse aussi les résistances $Xe^{i\Xi}$ et $Ye^{i\Upsilon}$, les calculs précédents ne subsistent qu'autant que le courant de saturation s est petit vis-à-vis du courant oscillant principal J, ce qui est toujours le cas en pratique.

En posant:

$$\Delta = fY - gX$$

on déduit des équations (P8) et (P9) la relation :

$$(39) J \Delta = s Z_i.$$

De même on déduit de (P8), (P6) et (P7)

$$J = \frac{V_i}{X} = \frac{U}{FsX} = \frac{RJ^2}{2FsX}$$

d'où:

$$J = \frac{2 \operatorname{FsX}}{R}$$

En posant:

$$\Omega = \frac{R}{2 \Delta X}$$

on a donc d'après (39)

(41)
$$\Omega = \frac{F}{Z_1} = \frac{1}{2\pi} (\theta - \sin \theta \cos \varphi)$$

formule qui sera utilisée plus loin. On vérifierait sans peine que 2Ω représente le rapport du décrément à l'incrément $(cf \ \S 2)$.

7. Domaine et tables. — Le domaine des angles α p est évidemment défini par : $0 \le \beta \le \alpha \le \pi$.

En passant aux variables 0 et 4, il vient :

$$0 < \varphi - \theta < \phi + \theta < 2\pi$$

et ces inégalités se réduisent à :

$$0 \leqslant \theta \leqslant \phi$$

Ce domaine est divisé en deux parties égales par la ligne :

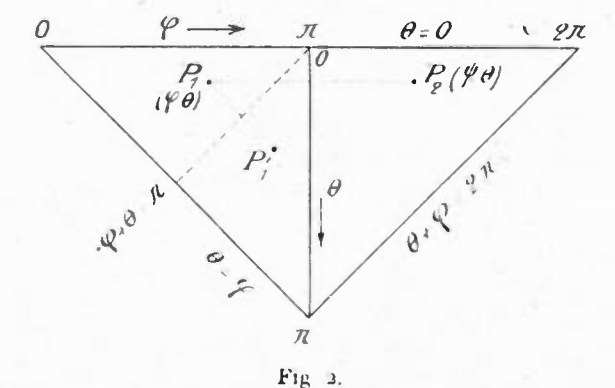
$$\varphi = \pi$$

et seul le domaine

$$o \leqslant \emptyset \leqslant \varphi \leqslant \exists$$

est utilisable pour la pratique.

A tout point P_i ($\varphi < \pi, \theta$) du demi-domaine D_i , on fait en effet



correspondre le point $P_{\epsilon}\left(\psi,\theta\right)$ du demi-domaine D_{ϵ} qui lui est symétrique par rapport à la droite :

$$\varphi = \pi$$

qui sépare Di et D2.

On a: $\psi = 2\pi - 0$

et il vient donc, d'après (21), (22), (25) et (27)

$$Z_{0}(\varphi) + Z_{0}(\psi) = -1$$

$$Z_{1}(\varphi) = Z_{1}(\psi)$$

$$M(\varphi) + M(\psi) = 1$$

$$F(\varphi) = F(\psi)$$

et comme $M(\phi)$ reste inférieur à $\frac{1}{2}$ on a donc :

$$\stackrel{M\left(\psi\right)\geqslant\frac{1}{2}\geqslant M\left(\phi\right)}{}$$

(l'égalité n'ayant lieu que pour $\varphi = \psi = \pi$). Le domaine D_2 n'est donc pas utilisable pour la pratique puisque, à puissance utile égale, la puissance totale mise en œuvre est plus grande au point de fonctionnement P_2 qu'au point de fonctionnement P_1 .

Enfin, on notera qu'une symétrie autour de la ligne $\varphi + \theta = \pi$, qui change $P_1(\varphi, \theta)$ en $P'_1(\pi - \theta, \pi - \varphi)$, transforme $2 Z_0 + 1$ en son inverse

$$2Z_0(P_i) + 1 = \frac{1}{2Z_0(P_i') + 1}.$$

On trouve ci-après six tables numériques qui font connaître respectivement :

$$Z_1 - Z_0$$
 Z_0
 Z_1
 M
 F

avec quatre chiffres significatifs en général : une telle précision est évidemment inutilisable en pratique, mais il a paru aussi avantageux de conserver, pour faciliter des interpolations, les décimales données par les calculs faits à la table de logarithmes, que de les supprimer. φ >>>

40°	60	800	100	120	ı to	160	180	5/9
00	· · ·		∞	00	00	00	00	o
1.128	1+347	1.600	1 880	2,188	2.532	2 924	3,379	20
Ι.	1,045	1,137	1,256	1,395	1 559	1.742	1 962	40
	I	1.024	1.079	1,155	1 249	1.363	1.5	60
		1.	1.015	1.054	1.111	1,185	1,278	80
		_	I	1.012	1,042	1,089	1.153	100
				I	1.009	1.035	1.077	120
		$\frac{\text{ole I}}{-Z_0}$			I'	1,008	1,032	140
	2,					1.	1.008	1600
					3(8		1,	1800

40	604	803	100	1200	140°	160e	1800	0
00	co	00	00	- 00	00	00	,	0
7.291	4,412	2,879	1.879	1.137	0.532	0	-0,5	500
3,274	1.879	1,137	0.653	0.293	0	0 258	-0,5	40
	1.	0,532	0.227	0	- o 185	- o.347	- o,5	бо
		0,210	0	— α, ι56	- o 283	- 0,395	0,5	800
			- o, 148	— 0.258	— o 347	-0,426	-0,5	1000
		, a 11		- o,333	- 0,395	-0.449	0.5	120
		ole II	·		0.434	- o, 468	-0.5	1400
				ı	4	- o. 485	0,5	160°
						4	-0,5	180

	2221	
Φ.	-	-
T	200	

40°	600	80°	100	120)	1402	160	180	9 6
00	00	00		00	20	~		0,
8.419	5,759	4 · 479	3 75)	3,325	3.064	2 024	2 879	2)
4.274	2,921	2.274	I 908	1,688	1.556	1.484	1.462	40
	2	1,556	1 305	1.155	1.064	1.015	1	60
		1,210	1 015	0,898	0.828	0.790	0.778	803
			0.852	0.754	0.695	0.663	0.653	100
				0,667	0.614	0.586	0.577	120°
		ole III			0.566	0.540	0.532	140)
						0,515	0,568	1600
							0.5	180°

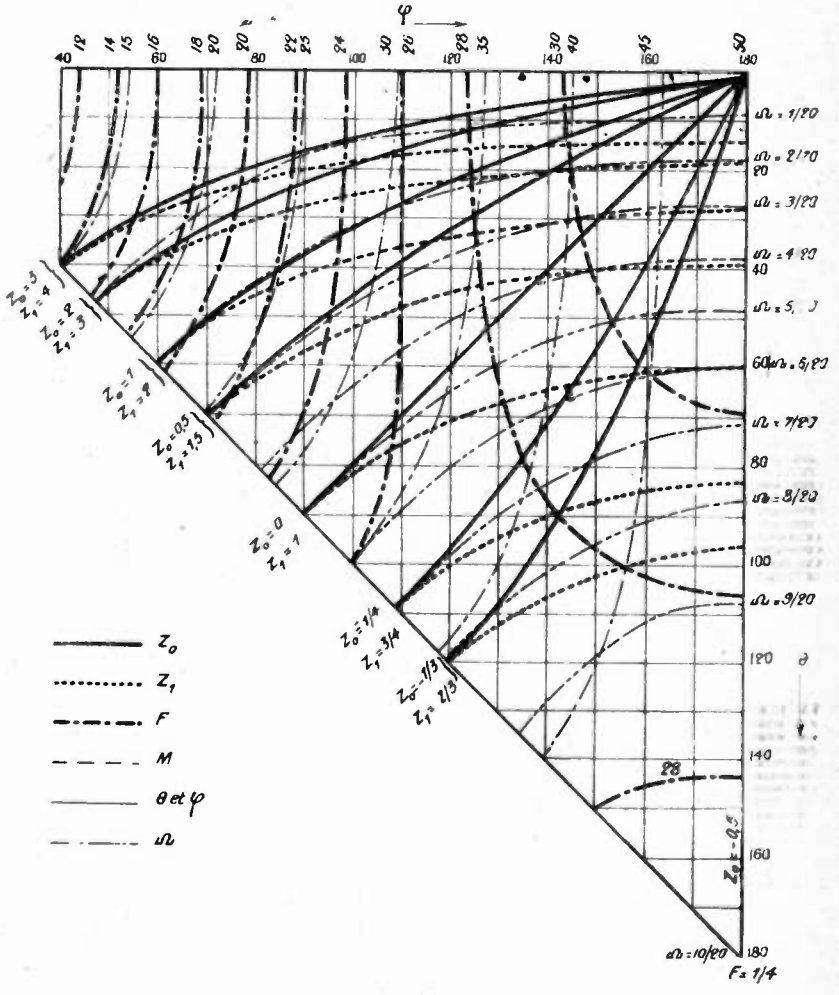
400	600	80° .	100	120	140	160	180	9/
1089	1592	2046	2438	. 2757	2991	. 3135	3183	00
1166	. 1631	2065	2111	2752	2980	3120	3167	20°
1399	1753	2123	2459	. 2739	2948	3076	3120	400
	1955	2220	2488	. 2720	2897	. 3008	3045	60
		. 2355	2533	. 2700	2833	2919	2948	80
			. 2599	2684	2764	. 2817	. 2836	100
				2682	. 2697	2713	2720	1 200
	Tabl	le IV			2646	2620	2614	1 100
	*					2555	2533	1600
							. 2500	1800

φ ** >

				•				
400	600	800	1001	120	140	1600	1800	·/ 6
1111	. 1667	2222	2778	. 3333	3889	. 4444	, 5000	0-
. 1200	1723	2261	. 2805	. 3352	Здот	. 4450	5000	200
. 1469	. 1892	2377	. 2887	. 3408	. 3936	. 4468	5000	10°
	2180	. 2575	3026	3504	3997	. 4497	5000	бо
		2859	3227	. 3642	. 4083	4539	5000	806
			3493	3825	. 4199	. 4595	5000	100,
		- '.		. 4060	. 4'347	4666	5000 5000 5000 5000	120
		le V			. 4532	4756		140)
		V 1				4868	5000	160
						-	5000	180

40°	60°	80°	100	120	1400	160°	180°	/_
0	0_	0	0.	0	0	0	0	O,
0139	0283	. 0461	0650	. 0828	0073	1067	. 1100	20
0327	, 6600	. 0933	1289	1622	1895	2072	2134	40
	. 0977	1427	1906	. 2356	2722	2962	3045	600
		. 1914	2494	3005	3423	3693	3790	80°
	,		3050	. 3561	3978	4251	4345	100
		,		. 4022	4389	4628	4711	120
	lal	ole VI Ω			4672	4850	4912	140°
		22		,		. 4956	4989	1600
					,		. 5000	180

L'abaque de la figure 3 illustre les tables numériques Enfin, on peut remarquer que, lorsque l'angle d'action est petit,



F13 3.

les formules (25) et (27) peuvent être remplacées par les expressions plus simples

$$M = \frac{1}{7} \frac{q}{2}$$

$$f = \frac{1}{7} \sin \frac{9}{2}$$

à quoi se réduisent les expressions générales (25) et (27) quand l'angle d'action θ tend vers zéro.

D'ailleurs, les dérivées $\frac{\partial \mathbf{M}}{\partial \theta}$ et $\frac{\partial \mathbf{F}}{\partial \theta}$ sont nulles pour $\theta = 0$, ce qui montre que les formules (42) et (43) sont exactes au second ordre près.

Au point $(\varphi = \pi, \theta = 0)$ les dérivées partielles $\frac{\partial F}{\partial \varphi}$ et $\frac{\partial F}{\partial \theta}$ sont nulles et F passe par un maximum vrai égal à $\frac{1}{\pi}$: c'est le point de fonctionnement au maximum de puissance utile :

$$U_{\text{max}} = \frac{A s}{\pi}$$

Pratiquement, on ne peut pas se placer en ce point même car l'amplitude Z_4 y est infinie, mais on peut rester dans son voisinage, de manière à obtenir une puissance utile voisine du maximum (44) tout en conservant des valeurs acceptables pour $Z_1 - Z_0$ et le courant grille. Il faut toutefois, pour cela, que le coefficient limite de dissipation interne C soit supérieur à $\frac{1}{2} - \frac{1}{\pi}$ soit à 20 pour 100 en chiffres ronds. Il en est ainsi pour les triodes de faible puissance. Pour les Philips Z3, Z4 et Z5, le coefficient limite de dissipation interne vaudrait 27 pour 100, 17 pour 100 et 13 pour 100, la puissance maxima dissipable sur l'anode étant respectivement de 120, 240 et 400 watts.

8. Généralisation de la méthode. — Dans tout ce qui précède, on a supposé que, pendant toute la troisième fraction de période, le courant plaque gardait sa valeur de saturation s; en d'autres termes on a admis que le courant grille restait toujours négligeable vis-à-vis du courant plaque. Pour qu'il en soit ainsi, on a montré qu'il fallait satisfaire à la condition :

$$V_i - V_i \geqslant N = P(Z_i - Z_0).$$

La tension de plaque ainsi perdue N est toujours supérieure à la tension de Blanchard P :

(36)
$$P = \frac{s}{\varepsilon f + g}.$$

La perte consentie est très appréciable. Pour la lampe E6 employée par MM. Dufour et Mesny (1, on a en effet :

$$s = 4 \quad f = 0015 \quad g = .000.083$$

^{(&}quot;A Dufour et R Mesny Ltude oscillographique de quelques émetteurs à triodes. L'Oude Flectrique, novembre et décembre 1923.

et en admettant pour : la valeur indiquée par Prince :

$$\epsilon = 0.8$$

il vient:

et comme le maximum admissible pour la tension plaque est :

$$A = 2000 \text{ volts}$$

il en résulte que la perte de puissance utile est :

$$\frac{N}{A} = \frac{P}{A} (Z_1 - Z_0) \gg 15$$
 pour 100.

Il y a donc lieu de rechercher si des résultats plus favorables ne peuvent pas être obtenus en s'affranchissant de la condition :

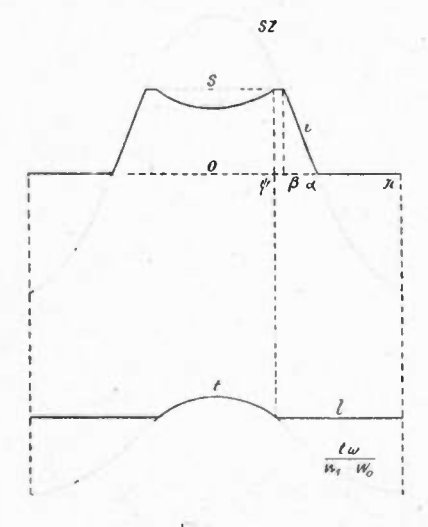
$$\mathbf{V}_0 - \mathbf{V}_1 \geqslant \mathbf{P} (\mathbf{Z}_1 - \mathbf{Z}_0).$$

Pendant la troisième fraction de période, la tension plaque deviendra très faible vis-à-vis de la tension grille, le courant grille l' deviendra important et le courant plaque i baissera au-dessous de sa valeur de saturation :

$$(45) i = s - l.$$

On suppose que le courant de grille l'reste inférieur à s.

La tension minimum de plaque sera très faible par hypothèse et



11g. 4.

le courant maximum de grille t (1) sera donc défini comme le courant de grille pour une tension grille $W_4 - W_0$ et pour une tension plaque négligeable ou nulle.

Le courant de grille l abandonne la valeur zéro et y revient aux instants $t'''=\mp\frac{1}{\omega}$ tels que :

$$w=0$$

(47)
$$\cos \psi = \frac{W_0}{W_1}.$$

Pour que le courant de plaque i atteigne réellement la valeur de saturation s il faudrait

c'est à-dire :

$$\frac{\mathrm{W}_{\scriptscriptstyle 0}}{\mathrm{W}_{\scriptscriptstyle 1}} \! \geqslant \! \frac{1 + Z_{\scriptscriptstyle 0}}{Z_{\scriptscriptstyle 1}}$$

condition qui se réduit à :

$$\mathbf{V}_{\scriptscriptstyle \rm I}\!<\!\left(\mathbf{V}_{\scriptscriptstyle 0}\!-\!\frac{\mathrm{s}}{g}\right)\frac{\mathsf{Z}_{\scriptscriptstyle 1}}{\mathrm{r}+\mathsf{Z}_{\scriptscriptstyle 0}}$$

et qui est difficile à satisfaire, car la parenthèse a une valeur voisine de zéro, et souvent négative.

 $\frac{s}{g}$ représente en effet la tension plaque nécessaire pour atteindre le courant de saturation s avec une grille neutre, et très souvent le maximum admissible pour la tension plaque est voisin de cette valeur

$$A \cong \frac{8}{g}$$
.

Mais il faut ajouter que, dans les fonctionnements au voisinage du maximum de puissance, $\frac{Z_1}{1+Z_0}$ est très grand et, pour peu que la parenthèse soit positive, le second membre prend déjà une valeur notable. Dans ce cas, les angles β et ψ sont très voisins l'un de l'autre et de $\frac{\pi}{2}$ et peuvent être confondus sans erreur appréciable : le courant i atteint la valeur de saturation s et l'abandonne aussitôt.

Quoi qu'il en soit, d'ailleurs, des valeurs relatives de β et $\frac{1}{2}$, on voit que si l'on cesse de négliger le courant de grille l, les expressions

⁽¹) La lettre t a déja été employée pour désigner le temps ; mais elle est alors associée à la pulsation ω , en sorte qu'une confusion n'est pas à redouter

données au paragraphe 5 pour la puissance totale T et la puissance utile U doivent être modifiées comme suit :

$$\begin{split} \mathbf{T} = & \frac{1}{\pi} \int \mathbf{V}_{0}(i-l) \, \mathbf{d}(\omega t) \\ \mathbf{U} = & \frac{\mathbf{I}}{\pi} \int \mathbf{V}_{i} \cos \omega t \, (i-l) \, \mathbf{d}(\omega t) - \frac{\mathbf{I}}{\pi} \int \mathbf{W}_{i} \cos \omega t \, l \, \mathbf{d}(\omega t) \end{split}$$

toutes les sommations devant être faites de $o à \pi$.

La deuxième intégrale apparaissant dans l'expression de U représente la puissance dissipée dans le circuit grille qui est la somme de la puissance absorbée par la contre-tension $W_{\scriptscriptstyle 0}$ et de l'énergie calorifique G dégagée sur la grille.

On suppose que le courant grille l dépend uniquement de la tension grille w et on notera (pour w > 0)

$$(48) l = \frac{tw}{W_1 - W_0}$$

on a alors:

$$\begin{split} \mathbf{T} &= \frac{\mathbf{I}}{\pi} \int \mathbf{V}_0.i \ \mathbf{d} \left(\omega t \right) - \frac{\mathbf{I}}{\pi} \int \mathbf{V}_0 \ l \ \mathbf{d} (\omega t) \\ \mathbf{U} &= \frac{\mathbf{I}}{\pi} \int \mathbf{V}_1 \cos \omega t \ i \ \mathbf{d} (\omega t) - \frac{\mathbf{I}}{\pi} \int \mathbf{V}_1 \cos \omega t \ l \ \mathbf{d} (\omega t) - \frac{\mathbf{I}}{\pi} \int \mathbf{W}_1 \cos \omega t . l \ \mathbf{d} (\omega t) \\ \mathbf{G} &= -\frac{\mathbf{I}}{\pi} \int \mathbf{W}_0. \ l . \ \mathbf{d} (\omega t) + \frac{\mathbf{I}}{\pi} \int \mathbf{W}_1 \cos \omega t \ l \ \mathbf{d} (\omega t) \\ \mathbf{d}' o \dot{\mathbf{u}} \end{split}$$

$$T = \mathbf{M}(\alpha, \beta) \mathbf{V}_0 \mathbf{s} - \mathbf{M}(\psi, \mathbf{o}) \mathbf{V}_0 t$$

$$\mathbf{U} = \mathbf{F}(\alpha, \beta) \mathbf{V}_1 \mathbf{s} - \mathbf{F}(\psi, \mathbf{o}) \mathbf{V}_1 t - \mathbf{F}(\psi, \mathbf{o}) \mathbf{W}_1 t$$

$$\mathbf{G} = -\mathbf{M}(\psi, \mathbf{o}) \mathbf{W}_0 t + \mathbf{F}(\psi, \mathbf{o}) \mathbf{W}_1 t.$$

9. Deuxieme méthode d'établissement des projets. — Les données sont celles indiquées au paragraphe 6, auxquelles il faut ajouter la conductance de grille h et l'amplitude V_i de la tension de plaque devenue arbitraire :

1er Groupe: λ, ω, R;

 2^e Groupe: f, g, s, h, A, Q;

3° Groupe : φ , 0 (d'où α et β), $V_0(V_0 \leqslant A)$ et V_1 .

En général V_i sera voisin de V_0 , et légèrement inférieur à V_0 .

Les tables I, II et III donnent $Z_1 - Z_0$, Z_0 et Z_1

Il vient alors:

$$\mathbf{W}_{0} = \frac{\mathbf{s} \, \mathbf{Z}_{0} + g \, \mathbf{V}_{0}}{f}$$

$$(P_{12}) W_{i} = \frac{s Z_{i} + g V_{i}}{f}.$$

On peut d'ailleurs opérer d'une manière un peu différente : prendre comme paramètres arbitraires W_i , W_0 et W_i , en déduire Z_0 et Z_i , d'où α et β , et φ et θ . On a encore :

(P 13)
$$\cos \psi = \frac{W_0}{W_1}$$

$$(P I4) t = h (W_i - W_0)$$

équation que donne t en fonction de h ou, inversement, qui fixe h si on détermine la valeur de t en fonction de $W_1 - W_0$ par une lecture sur la caractéristique grille.

On cherche dans les tables IV et V les valeurs de :

$$\begin{split} F &= F \left(\phi \ \theta \right) & F' = F \left(\psi \, \psi \right) \\ M &= M \left(\phi \ \theta \right) & M' = M \left(\psi \, \psi \right) \end{split}$$

et il vient :

(P 15)
$$G = -M'W_0t + F'W_1t$$

(il pourra d'ailleurs être plus avantageux de déterminer G graphiquement comme le suggère Prince)

$$(P_16) U = FV_1s - F'V_1t - F'W_1t$$

$$T = \mathbf{M} \, \mathbf{V}_0 \mathbf{s} - \mathbf{M}' \, \mathbf{V}_0 t.$$

On s'assure que T — U n'excède pas la limite admissible Q et que la puissance dissipée sur la grille G n'est pas non plus exagérée. Il vient ensuite :

$$(P 18) J = \sqrt{\frac{2 U}{R}}$$

$$(P 19) X = \frac{V_4}{J}$$

$$Y = \frac{W_1}{J}$$

Les courants moyens Ic et Ic de grilles et de plaque, tels que les indiqueraient des ampèremètres à courant continu sont donnés par :

$$I_c = M s - M' t$$

$$(P 22) L_c = M't$$

et la résistance S à intercaler dans la grille sera donnée par :

$$S = \frac{W_0}{M't}.$$

On peut bloquer l'amortissement grille avec les autres pertes qui

entrent dans l'évaluation de la résistance R. Il faut ajouter à R un terme correctif r défini par :

$$\frac{2}{J^2} = \frac{r}{F'W_1t} = \frac{R}{U} = \frac{R+r}{U+F'W_1t}$$

et au lieu de (P 18) on écrit alors :

(P 18 bis)
$$J = \sqrt{\frac{2(U + F'W_1t)}{R + r}}.$$

Enfin, en posant encore :

$$\Delta = f \mathbf{Y} - g \mathbf{X}$$

on a:

$$J = \frac{sZ_1}{\Delta} = \frac{V_1}{\lambda}$$

$$J^2 = \frac{sZ_1V_1}{\Delta X} = \frac{2(U + F'W_1t)}{R + r}$$

$$\Omega = \frac{R + r}{2\Delta X} = \frac{U + F'W_1t}{sZ_1V_1}$$

et, en tenant compte de (P 16):

$$\Omega = \frac{\mathbf{F}}{\mathbf{Z}_1} - \frac{\mathbf{F}'}{\mathbf{Z}_1} \cdot \frac{t}{\mathbf{s}}$$

On voit en résumé combien est simple le calcul des éléments d'un émetteur triode : on se donne, outre les constantes d'appareil, les valeurs moyennes Vo, Wo et les amplitudes Vi, Wi des potentiels grille et plaque. On postule que les oscillations de ces potentiels sont en opposition, on en déduit les valeurs des courants grille et plaque; de la connaissance des éléments précédents, on tire les énergies par une série d'intégrations qui, rentrant toutes dans les deux types F et M, s'effectuent par simples lectures des tables IV et V. Les lois de Joule et d'Ohm suffisent alors à la détermination de l'intensité principale J, des modules X et Y résistances complexes de couplage, et de la résistance de grille S.

Quant à l'équation (P24), qui est une conséquence des formules antérieures, elle exprime le principe de conservation de l'énergie appliqué au circuit oscillant principal. Ce circuit oscillant subit l'action:

- 1° D'un facteur d'amortissement δ correspondant à (R+r);
- 2º D'un facteur d'accroissement γ correspondant à l'inclinaison de la caractéristique i;
- 3º D'un facteur d'amortissement γ' correspondant à l'inclinaison de la caractéristique l.

On vérifierait aisément que l'on a :

$$2\Omega = \frac{\delta}{\gamma}$$

$$\gamma' = \gamma \frac{t}{s} \frac{\cos \beta - \cos x}{1 - \cos \psi}.$$

et

Comme δ agit pendant toute la période tandis que γ et γ' agissent le premier de $-\alpha$ à $-\beta$ et de $+\beta$ à $+\alpha$ et le second de $-\psi$ à $+\psi$, on doit avoir :

$$\pi \delta + \gamma' (\psi - \sin \psi \cos \psi) = \gamma (\theta - \sin \theta \cos \psi)$$

et c'est bien ce qu'exprime l'équation (P 24).

10. Problème de la modulation. — On abordera d'abord le problème de la modulation en utilisant les hypothèses qui ont conduit aux formules du paragraphe 6. Il y a dix-sept grandeurs principales, savoir :

$$egin{array}{ll} R \; , \; J & f \; , \; g \; & s \\ V_6 \; W_0 \; Z_0 \; & V_1 \; W_1 \; Z_1 \; & \\ F \; , \; M \; , & U \; , \; T \\ X \; , \; Y \; . & \end{array}$$

reliées par neuf équations dont les sept premières sont :

(P3)
$$sZ_0 = fW_0 - gV_0$$

(P4) $sZ_1 = fW_1 - gV_1$

$$T = M V_0 s$$

$$\begin{array}{ccc} (P6) & U = FV_4 s \\ & & & \\ & & \\ & & & \\ & & \\ & & & \\ & \\ & & \\ & & \\ & & \\ & & \\ & & \\ & & \\ & & \\ & & \\ & & \\ & & \\ &$$

$$(P7) 2U = RJ^2$$

$$(P8) V_1 = J X$$

$$(P9) W_1 = J Y$$

et les deux dernières s'obtiendraient par élimination de θ et ϕ entre les quatre relations :

(25)
$$M = \frac{1}{\pi} \left[\frac{\varphi}{2} + \cot g \frac{\varphi}{2} \left(1 - \frac{\theta}{2} \cot g \frac{\theta}{2} \right) \right]$$

(27)
$$F = \frac{1}{4\pi} \cdot \frac{\theta - \sin\theta \cos\varphi}{\sin\frac{\theta}{2}\sin\frac{\varphi}{2}}$$

ÉMISSION ET MODULATION DES LAMPES TRIODES = 529 =

(21)
$$2Z_0 + 1 = \cot g \frac{\theta}{2} \cot g \frac{\varphi}{2}$$

(22)
$$2 Z_1 = \operatorname{cos\'ec} \frac{\theta}{2} \operatorname{cos\'ec} \frac{\varphi}{2}$$

Parmi les dix-sept grandeurs principales, huit peuvent donc être arbitrairement choisies et le problème de la modulation se réduit au calcul des neuf autres grandeurs.

11. Modulation par absorption. — La variable de modulation est R.

Sont données les valeurs de :

$$f.g.s$$
 $V_0 W_0$
 $X Y$
 U

L'équation (P3) donne Z_0 :

$$Z_0 = \frac{f W_0 - g V_0}{s}$$

et le point de fonctionnement (θ, φ) se déplacera donc, sur l'abaque de la figure 3, sans quitter une ligne

$$(M I)$$
 $Z_0 = constante.$

En posant toujours:

$$\Delta = f \mathbf{Y} - g \mathbf{X}$$

on a, d'après (P8), (P9) et (P4) :

$$J = \frac{V_1}{X} = \frac{sZ_1}{\Delta}$$

et en portant la valeur de V_i dans (P6) on obtient la relation :

$$(\mathbf{M} \, \mathbf{2}) \qquad \qquad \mathbf{U} = \mathbf{F} \, Z_i \, \frac{\mathbf{X} \, \mathbf{s}^2}{\Lambda}$$

qui définit FZ_1 en fonction des données. Inversement en tout point de la trajectoire (M1) FZ_1 a une valeur déterminée et (M2) fait alors connaître U en ce point.

Le réseau des courbes :

$$FZ_i = constante$$

n'a pas été tracé sur la figure 3, mais on donnera plus loin une table des valeurs de F Z₁ en fonction de θ et φ.

12. Modulation par variation de la tension moyenne de grille. — La variable de modulation est $W_{\rm o}$.

Sont données les valeurs de :

Le paramètre :

$$\Omega = \frac{R}{2 \, \lambda \, X}$$

reste constant et le point de fonctionnement se déplace sur une ligne :

$$(M3)$$
 $\Omega = constante$

La formule (M 2) reste applicable.

La connaissance de Ω et de F Z_i équivaut à la connaissance de φ et de 0 et le projet s'établit comme au paragraphe 6.

On peut remplacer la formule (M2) par la relation équivalente :

$$(M4) U = F^2 \frac{2 X^2 s^2}{R}$$

et on voit, sur l'abaque de la figure 3, que pour obtenir un taux de modulation élevé, c'est-à-dire pour pouvoir amener successivement le point de fonctionnement sur des lignes F de côtes très différentes, il faut que ce point se déplace sur une ligne Ω de côte faible. En prenant par exemple :

$$\Omega = 5$$
 pour cent

on pourra (au moins théoriquement) faire varier F² de .025 à .100 environ, soit dans le rapport de 1 à 4.

13. Modulation par variation de la tension continue de plaque. — La variable de modulation est \mathbf{V}_0 .

Les formules (M 3), (M 2) et (M 4) subsistent sans modifications. Ici encore il faut prendre Ω faible; c'est-à-dire que l'incrément doit encore ètre grand vis-à-vis du décrément; en d'autres termes le fonctionnement doit être réglé loin de la limite d'entretien ($2\Omega = 1$).

14. Modulation par variation de l'intensité de saturation. — La variable de modulation est s.

Sont données les valeurs de :

$$\begin{array}{ccc}
R & g & \\
V_0 & W_0 \\
X & Y & \\
U & & \end{array}$$

On a encore:

$$(M3)$$
 $\Omega = constante$

et d'ailleurs en combinant (P3) et (M2) on a :

(M5)
$$U = \frac{FZ_1}{Z_0^2} \cdot \frac{X}{\Delta} \cdot (fW_0 - gV_0)^2$$

relation à laquelle on peut substituer l'une des deux formules équivalentes :

(M6)
$$U = \left(\frac{F}{Z_0}\right)^2 \cdot \frac{2X^2}{R} \cdot (fW_0 - gV_0)^2$$

(M7)
$$\mathbf{U} = \left(\frac{\mathbf{Z_i}}{\mathbf{Z_0}}\right)^2 \cdot \frac{\mathbf{R}}{2\Delta^2} \cdot \left(f \mathbf{W_0} - g \mathbf{V_0}\right)^2.$$

On donne plus loin une table des valeurs de $\left(\frac{F}{Z_0}\right)^2$ en fonction de φ et θ .

L'expression (M6) devient singulière si Z_0 s'annule; si $fW_0 - gV_0$ est différent de zéro, cela signifie simplement que le courant de saturation s, nécessaire pour donner une puissance U infinie, est luimème infini; si $fW_0 - gV_0 = 0$, on a simultanément :

(M8)
$$\Omega = \text{constante}; Z_0 = 0$$

et le point de fonctionnement reste fixe; l'énergie U varie alors proportionnellement au carré du courant de saturation s

$$(M4) U = s^2 \cdot \frac{2 F^2 X^2}{R}.$$

15. Triode modulatrice en série, avec alimentation à potentiel constant. — On ramène aisément aux cas précédents l'étude de certains systèmes de modulation en apparence plus compliqués.

Soit à examiner le fonctionnement d'une oscillatrice et d'une modulatrice dont les espaces filament-plaque sont montés en série; on affecte respectivement les accents ' et " aux grandeurs attachées à l'oscillatrice et à la modulatrice.

Soient V_0 la tension d'alimentation et i le courant débité. Tant que ce courant reste positif et inférieur au plus petit des deux courants s' et s'', on a :

$$\rho' i = K' w' + v'
\rho'' i = K'' w'' + v''$$

et d'ailleurs on a :

$$V_0 = v' + v'' + V_1 \cos \omega t$$

il vient donc:

$$(\rho' + \rho'') i = -K' \left(W_0' - \frac{K''}{K'} w'' \right) + K' W_1' \cos \omega t + V_0 - V_1 \cos \omega t$$

et l'on voit sous cette forme que les deux triodes équivalent à un seul triode dont les caractéristiques sont définies par :

$$\rho = \rho' + \rho'' \qquad g = \frac{g' \ g''}{g' + g''}$$

(50)
$$K = K'$$
 $f = \frac{f' g''}{g' + g''}$

(51) s = le plus petit des deux courants s' et s'',

la variable de modulation étant la tension moyenne de grille — W_{0} avec :

(52)
$$W_0 = W_0' - \frac{K''}{K'} W'' = W_0' - \frac{f'' \cdot g'}{f' g''} W''.$$

16. Modulation Latour. Oscillatrice et modulatrice en parallèle, alimentation à intensité constante I_0 . — On a évidemment :

$$0 \leqslant I_0 \leqslant s' + s''$$
.

Entre les relations :

$$\rho' i' = K' w' + v'
\rho'' i'' = K'' w'' + v''
i' + i'' = I_0
v'' = v' + V_1 \cos \omega t$$

l'élimination de v'v'' et i'' est immédiate et il vient :

$$(\rho' + |\rho'') i' = \rho'' I_0 - K' \left(W_0' + \frac{K''}{K'} W'' \right) + K' W_1' \cos \omega t - V_1 \cos \omega t$$

et l'ensemble des deux triodes équivaut donc à un seul triode défini par :

$$\rho = \rho' + \rho'' \qquad g = \frac{g' g''}{g' + g''}$$

(50)
$$K = K'$$
 $f = \frac{f' g''}{g' + g''}$

(53) $s = le plus petit des deux nombres s' et <math>I_0$

et la variable de modulation étant encore la tension moyenne de grılle — $\mathbf{W_0}$, avec :

(54)
$$W_0 = W'_0 + \frac{K''}{K'} w'' = W'_0 + \frac{f'' g'}{f' g''} w''$$

et l'alimentation plaque étant faite sous le potentiel constant

$$V_0 = \rho'' I_0 = \frac{I_0}{a''}.$$

17. Tables numériques. — Les deux tables suivantes font connaître respectivement les valeurs numériques de FZ_i et $\left(\frac{F}{Z_0}\right)^2$ en fonction des angles , et θ

ÉMISSION ET MODULATION DES LAMPES TRIODES = 533 =

φ 🗯 🗡

40'	600	80°	100°	120°	1400	160)	1800	* 6
∞	00	00	∞	∞	00	∞	00	00
. 9817	. 9395	. 9252	. 9186	9151	9132	9123	9119	200
. 5981	. 5125	. 4828	4693	. 4624	4586	. 4567	. 4561	400
	3910	3454	. 3248	3141	3083	. 3054	3045	60
		2850	. 2572	. 2481	. 2345	. 2305	. 2293	800
			2214	. 2023	. 1920	1867	. 1851	1000
				. 1788	1657	1591	1571	1200

. 1498

. 1416

1317

. 1391

. 1286

1250

1409

 160°

1800

Table VII

	*/:			y ****				
40°	600	800	1000	1 20	1400	1600	1800	0
0	0	0	0.	0.	0	0	?	00
- 0003	. 0013	0051	0169	. 0586	. 3137	00	. 4012	200
0018	-0087	. 0349	. 1420	. 8733	00	1,424	. 3893	40%
	0382	1741	1.201	∞	2.458	7504	. 3709	600
		1.256	00	2,996	1,002	. 5462	3476	800
			3.088	1.084	6332	4374	. 3217	1000
			14	6472	. 4663	3651	2960	1200
		ole VIII			. 3720	3137	. 2732	1100
	($\left(\frac{Z_0}{F}\right)^2$. 2781	. 2566	1600
					25		2500	1800

* | * * *

18. Projets d'émetteurs modulés. — L'avant-projet d'un émetteur modulé ayant été établi par les procédés si simples décrits aux paragraphes 11, 12 et 14, on reprendra les calculs du § 9, en se donnant les valeurs de

$$R$$
 $f \cdot g \cdot s \cdot h$
 $V_0 \cdot W_0$
 $X \cdot Y$

Parmi ces neuf grandeurs figure la variable de modulation et on aura donc à répéter les calculs pour autant de valeurs de ce paramètre qu'on le désire.

19. Émetteurs à excitation indépendante. — On a jusqu'ici supposé que l'on avait à faire à des émetteurs auto-excitateurs. Il y a peu de chose à changer à ce qui a été dit, lorsqu'il s'agit d'un émetteur à excitation indépendante.

Au paragraphe 9, les formules (P11) à (P15) et (P17) à (P19) et (P21) à (P23) subsistent.

Mais avec la suppression de la résistance de couplage Ye" l' disparait l'équation (P 20).

L'auxiliaire à n'est plus défini par (38) mais par

$$\Delta = \frac{sZ_1}{J}$$

et Δ ne restera constante que si le rapport $\frac{W_i}{J}$ (que l'on peut continuer à désigner par Y) reste lui-même constant.

La disparition de la résistance de couplage Y e' l'entraîne celle du dernier terme au second membre de (P 16). On a

$$(P. I. 16) U = (Fs - F't) V_i$$

et la puissance E dissipée dans le circuit-grille est fournie par l'excitatrice :

(P. I. 15)
$$E = F'W_1t = G + M'W_0t$$

G représente la chaleur dégagée sur l'électrode-grille:

 $M't\,W_{_0}$ est la puissance absorbée par la contre-tension $W_{_0},$ ou dissipée par effet Joule dans la résistance S :

$$M'tW_0 = S(M't)^2$$
.

La formule (P 18 bis) ne subsiste pas et l'équation (P 24) doit être remplacée par

(P. I. 24)
$$\frac{R}{2\Delta X} = \Omega = \frac{Fs - F't}{sZ_1}.$$

Quant aux formules (P3) à (P8) du § 6, elles ont été établies en faisant abstraction complète des phénomènes énergétiques dont le circuit grille est le siège.

20. Modulation sur la tension de l'excitatrice. — La modulation d'un émetteur à excitation indépendante par action sur la tension d'excitation peut, par exemple, être réalisée en reliant l'excitatrice à l'oscillatrice principale par l'intermédiaire d'un pont de Wheatstone ayant un microphone dans un de ses quatre bras. Le condensateur du circuit oscillant de l'excitatrice est monté sur une diagonale du pont. L'autre diagonale est embrochée dans le circuit-grille de l'amplificatrice-émettrice.

Le paramètre de modulation est W, Sont données:

$$\begin{array}{l}
R \\
f \cdot g \cdot s \\
V_0 \cdot W_0 \\
X \\
U
\end{array}$$

les formules (M1), (M4) et (M6) subsistent :

$$(M_I)$$
 $Z_0 = constante$

(M4)
$$U = F^2 \frac{2X^2 s^2}{R}$$

(M6)
$$U = \left(\frac{F}{Z_0}\right)^2 \cdot \frac{2X^2}{R} \cdot (fW_0 - gV_0)^2.$$

La table des valeurs de $\left(\frac{F}{Z_0}\right)^2$ a été donnée au § 17.

Pour avoir une modulation profonde, il faudra accepter une torte valeur de Z_0 , c'est-à-dire une tension moyenne de grille — W_0 fortement négative.

Raymond MAILLET.

AU SUJET DU RENDEMENT DES TRIODES

Par le Dr Balth. VAN DER POL et K. POSTHUMUS, ingénieur

SOMMAIRE. — Dans cet article les auteurs considèrent l'influence de l'allure du courant anodique sur le rendement et la puissance utile d'un poste émetteur. Ils donnent la preuve un peu plus exacte du fait que M. le lieutenant de vaisseau Blanchard a constaté dans un numéro précédent, à savoir que, pour une puissance fournie donnée, la forme optimum du diagramme du courant anodique est la forme rectangulaire

Nous avons lu avec beaucoup d'intérêt les remarques du lieutenant de vaisseau Blanchard (Onde Électrique, IV, 448, 1925) au sujet de notre article sur le poste émetteur de 200 kw de la Société anonyme Philips Radio, à Eindhoven (Onde Électrique, IV, 324, 1925). M. Blanchard a eu la bonté de nous envoyer une copie de sa lettre, et nous le remercions de l'intérêt qu'il porte à notre article. Nous voudrions donner la réponse suivante:

En premier lieu nous sommes également d'avis que, seule, la puissance engendrée dans la fréquence fondamentale peut être considérée comme utile. Cependant, M. Blanchard (*Onde Électrique*, III, 337) a admis comme nous que la tension anodique présente une variation sinusoidale. Par suite, il ne peut être question que de la puissance dans la fréquence fondamentale, les courants anodiques de fréquences différentes étant déwattés par rapport à la tension sinusoidale.

Par conséquent, les méthodes de calcul de M. Blanchard et les nôtres, appliquées au même cas, conduiraient exactement au même résultat.

Nous avons pris connaissance avec beaucoup d'intérêt des oscillogrammes de MM. Dufour et Mesny. D'ailleurs, de pareils oscillogrammes, dans lesquels la forme trapézoïdale est très accusée, ont été publiés antérieurement par l'un de nous (1).

La forme en trapèzes ne pourra prendre naissance que lorsque le courant de saturation est atteint pendant l'oscillation. Cela n'a, certes, pas été le cas dans nos expériences, une variation du courant de chauffage n'ayant aucune influence sur la puissance ou le rendement.

Une autre question très intéressante est celle de savoir si la forme sinusoïdale est bien la forme théorique optimum à donner au courant.

^{(&#}x27;) E. V. Appleton and B. v. d. Pol, Phil Mag , 42, 201, 1921. Voir aussi Gutton. La lampe à trois électrodes, p. 74.

Dans notre article (IV, 324, 1925) nous avons calculé les quantités principales, telles que rendement, puissance utile, etc., tant pour l'allure sinusoïdale (courbes en traits pleins de la figure 6, p. 331) que

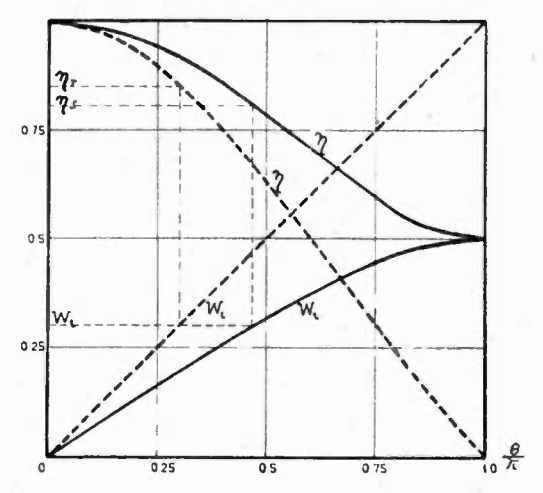


Fig. 1. — Puissance fournie W: et rendement 1, en fonction du temps de passage du courant.

pour l'allure rectangulaire (courbes pointillées) et il appert de ces diagrammes par comparaison des courbes en traits pleins et pointillés que, pour une certaine puissance fournie W, le temps de passage du

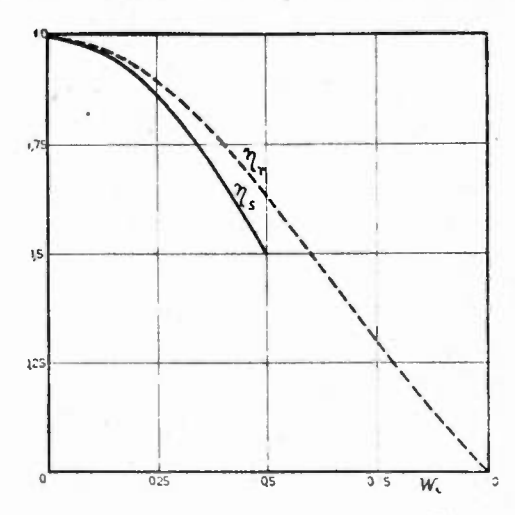


Fig. 2. — Rendement en tonction de la puissance fournie Trait plein = allure sinusoidale. — Trait pointillé = allure rectangulaire. Même courant de saturation dans les deux cas.

courant est plus petit et la puissance utile plus grande, avec la forme rectangulaire.

La figure 1 est une copie de notre ancienne figure 6, où nous avons inséré la construction nécessaire pour la dite comparaison, et notre figure 2 donne les rendements dans les deux cas comme fonction de la puissance fournie W₁.

 η_r a rapport à la forme en rectangles, η_s à l'allure sinusoïdale.

On peut démontrer généralement comme suit que l'allure rectangulaire est la plus favorable pour une certaine puissance fournie et un courant de saturation donné.

On veut déterminer la fonction i(x) qui satisfait aux conditions suivantes:

$$\frac{1}{2\pi} \int_0^{2\pi} i \,\mathrm{d}\omega t \,\mathrm{ou} \,\frac{1}{2\pi} \int_0^{2\pi} i \,\mathrm{d}x$$

proportionnelle à la puissance fournie est une constante = I.

$$\frac{1}{2\pi} \int_0^{2\pi} i \cos x \, \mathrm{d}x$$

proportionnelle à la puissance utile est maximum.

Pour a=une constante provisoirement arbitraire nous avons

$$\int i(\cos x - \cos \alpha) \, dx = \int i\cos x \, dx - I\cos \alpha$$

Comme $\int i(x)\cos x\,\mathrm{d}x$ pour la fonction cherchée, doit être plus

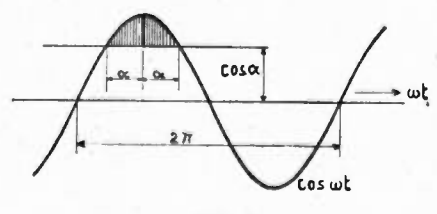


Fig. 3.

grande que pour toute autre fonction, le premier membre doit également être maximum, car I cos a est constant.

Nous scindons la période en deux intervalles, à savoir $-\alpha > x > +\alpha$ et $\alpha > x > 2\pi - \alpha$. Alors nous avons

$$\int_0^{2\pi} i (\cos x - \cos \alpha) dx = \int_{-\alpha}^{2\pi - \alpha} i (\cos x - \cos \alpha) dx$$
$$= \int_{-\alpha}^{+\alpha} i \cos x - \cos \alpha dx + \int_{\alpha}^{2\pi - \alpha} i (\cos x - \cos \alpha) dx.$$

Dans le deuxième intervalle $\cos x - \cos \alpha$ est négatif (voir fig. 3) et la fonction cherchée s'annulera certainement, étant donné que pour toute autre fonction

$$\int_{+\alpha}^{2\pi-\alpha} i(\cos x - \cos \alpha) \, \mathrm{d}x$$

est négative car i > o.

Dans le premier intervalle

$$\int_{-\alpha}^{+\alpha} i \left(\cos x - \cos \alpha\right) dx$$

présente sa valeur maximum lorsque i est également max., donc $i=i_s$: $\cos x - \cos \alpha$ étant toujours positif.

En ce cas

$$\frac{1}{2\pi} \int_0^{2\pi} i \, dx = \frac{1}{2\pi} i_s \times 2 \, \alpha = i_s \frac{\alpha}{\pi}$$

A condition de choisir α tel que $i, \frac{\alpha}{\pi} = I$ la fonction i = i, pour $-x>x>+\alpha$ et i=0 pour $\alpha< x<2\pi-\alpha$ satisfait à toutes les conditions. La fonction cherchée aura donc une allure rectangulaire.

Nous n'oserions prétendre, sans faire de restrictions, que la forme trapézoïdale serait également préférable à la forme sinusoïdale, mais pour chaque cas particulier c'est facile à calculer, les proportions du trapèze étant données.

D' Balth. VAN DER POL et K. POSTHUMUS.

CONSTRUCTION D'AMPLIFICATEURS DE PUISSANCE SANS DISTORSION

Par E. W. KELLOG, associé A. I. E. E.

Suite et fin (1)

Circuits de charge. — Les figures 9 et 10 montrent les connexions utilisées fréquemment pour la sortie des amplificateurs de puissance. Dans la figure 9 la bobine de choc doit avoir une réactance élevée comparée à celle de la lampe et à celle de la résistance de charge, et le condensateur d'arrêt doit avoir une capacitance faible comparée à la résistance de charge, pour toutes les fréquences comprises dans la zone de travail. Autrement, de la distorsion en résultera les courants de basse fréquence étant partiellement supprimés, ou par capacitance excessive du condensateur, ou par trop de pertes dans la bobine.

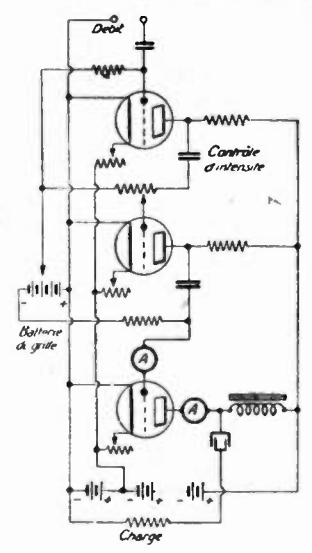


Fig. 9. — Amplificateur couplé par résistance et capacité avec'hobine de choc et condensateur sur la charge

Dans un circuit convenab'ement construit, nous pouvons envisager la bobine de choc comme maintenant un courant continu constant égal au courant de plaque moyen I_0 , tandis que le condensateur offre une force contre-électromotrice pratiquement constante, égale aulpoten-

⁽⁴⁾ Voir Onde Électrique, novembre 1925.

tiel plaque moyen E_0 . Supposons maintenant que le courant plaque change momentanément de I_0 à I_0-i . Puisque le courant dans la bobine de choc reste constant, la différence ou i ampères doit passer dans la charge. Le potentiel en L devient alors +i R, qui ajouté à la tension E_0 sur le condensateur amène le potentiel en P à E_0+i R. De même lorsque le courant plaque est I_0+i le courant de charge est inversé, le potentiel en L est -iR, et en P, il est E_0-i R. On reconnaîtra, au point de vue de la lampe, que cette condition est la même que celle illustrée par la figure 3, la seule différence consistant en ce que, dans la figure 3, le potentiel d'alimentation doit être $E+I_0$ R, afin de maintenir le potentiel moyen E_0 sur la plaque. Les conditions que l'on rencontre dans la haison par transformateur de la figure 10

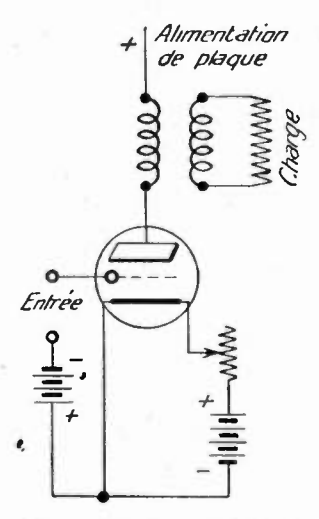


Fig. 10 - Charge couplée par transformateur.

sont analogues. Un transformateur idéal, avec une résistance R connectée aux bornes du secondaire introduit dans le courant primaire une résistance effective, en courant alternatif, égale à

$$R \times \left(\frac{n}{n'}\right)^2$$
 où $n =$ nombre de tours du primaire $n' =$ nombre de tours du secondaire.

Mais en courant continu, il introduit seulement la résistance ohmique de l'enroulement primaire. Le transformateur réel, s'il est étudié pour éviter la distorsion, s'approche de très près des relations qu'on vient d'établir. Le courant magnétisant doit être faible comparé au courant de charge, aux fréquences les plus basses, et la réactance en

série due au flux de perte doit être faible comparé à l'impédance de charge, aux fréquences les plus hautes que l'on a à considérer.

Charges réactives.

Nous n'avons, jusqu'à présent, considéré que des charges ayant une résistance pure. La caractéristique dynamique d'une lampe avec une charge réactive ne se dessine pas facilement, mais on peut montrer sa forme générale; et les conditions pour éviter la distorsion, comme il a été fait pour le cas de la résistance de charge pure, sont applicables à la charge réactive. S'il y a de la réactance dans la charge, la caractéristique dynamique devient elliptique; une véritable ellipse si les courbes à potentiel constant sont droites dans tout l'intervalle entre le courant maximum et le courant minimum, et une ellipse tordue lorsqu'il y a de la courbure appréciable dans cet intervalle. Il est en général possible de régler l'impédance de charge à une valeur désirée quelconque, ou bien au moyen d'un transformateur, ou en changeant le nombre de tours des enroulements de l'instrument qui constitue la charge. De tels changements n'altèrent pas le facteur de puissance. Lorsqu'on équipe une lampe amplificatrice avec une charge réactive, le procédé recommandé est d'abord de déterminer dans le cas d'une charge non inductive quelle est la résistance de charge, le potentiel plaque, le potentiel grille et l'oscillation de grille qui donnent le débit maximum; utilisant ensuite le même potentiel plaque et la même oscillation de grille, régler l'impédance de charge de façon que les intensités maximum et minimum du courant plaque soient les mèmes que dans le cas de la charge non inductive. Ceci signifie que l'on rend le vecteur somme de l'impédance de charge et de la résistance plaque de la lampe identique dans les deux cas (1). Si ces deux conditions sont remplies, les principales sources de distorsion sont évitées, en particulier : l'oscillation positive de la grille et le travail avec des courants minimum trop faibles.

Puisque l'impédance de charge est fonction de la fréquence et que les amplificateurs à fréquence audible doivent opérer convenablement, dans un grand intervalle de fréquences, la question se pose : « pour quelle fréquence l'impédance de charge doit-elle avoir la valeur qui a

⁽⁴⁾ Le courant alternatif dans le circuit-plaque est égal à

⁽Potentiel alternatif de grille) (constante d'amplification de la lampe) Vecteur somme de l'impédance de charge et de résistance de la lampe

Pour l'établissement de cette égalité, voir La lampe à vide thermoionique, de H.-J. Van der Bijl, pp. 157 et 177. Voir également les pages 175 et 176 pour la discussion de la forme variable des caractéristiques dynamiques avec la charge réactive.

été déterminée comme étant convenable? » La seule règle sûre est de faire le calcul pour la fréquence à laquelle l'impédance de charge est la plus faible. On pourrait faire une exception dans le cas où l'on sait que les courants pour la fréquence en question sont de faible intensité par rapport aux courants des autres fréquences. Par exemple, beaucoup de récepteurs téléphoniques et de haut-parleurs ont l'impédance la plus faible aux basses fréquences. Il peut se produire le cas où on sait que les composantes basse fréquence, dans les courants à amplifier, sont faibles comparées à celles de fréquences plus élevées. Il peut être alors permis de déterminer l'impédance de charge à une fréquence plus élevée. Mais il est difficile d'imaginer une telle situation; quand on a pris la peine de construire un amplificateur sans distorsion, c'est pour réduire la distorsion au minimum, et comme à la fois, pour la voix et pour la musique, la plus grande part de l'énergie est apportée par les sons les plus bas, l'amplificateur sera appelé à manier les plus grandes intensités pour la basse fréquence.

Modulation d'émetteurs-radios.

La figure 11 montre les lampes modulatrice et oscillatrice d'un émetteur radio-téléphonique. Il y a différents dispositifs possibles des circuits oscillants, mais le moyen de faire varier l'intensité des oscil-

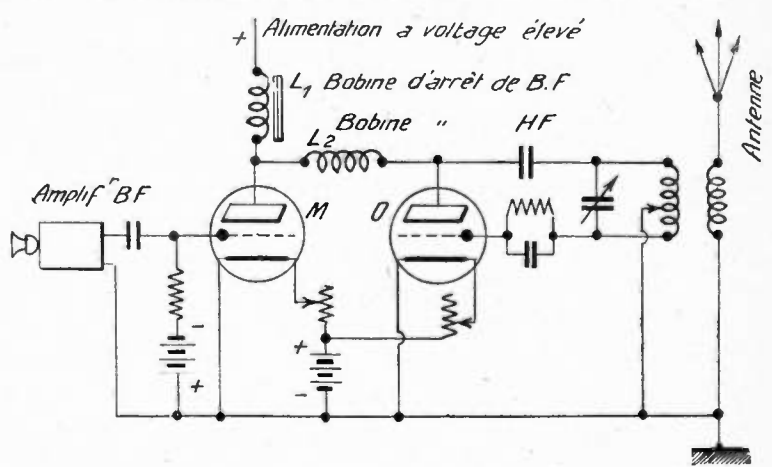


Fig 11. — Transmetteur radiotéléphonique montrant une méthode de modulation.

lations ou de les « moduler » est, dans la plupart des cas, pareil à celui que montre la figure 11. La grande inductance L_1 garde constant, le courant total, tandis que le rôle de la petite inductance L_2 est

d'éviter l'absorption par le tube modulateur de la puissance H. F. Lorsque la grille de la lampe modulatrice devient positive en oscillant, la plaque prend plus de courant, laissant moins de courant utile pour l'oscillateur, et le voltage tombe, provoquant une réduction d'amplitude des oscillations. De même quand la grille du modulateur devient négative en oscillant, le voltage augmente et l'amplitude des oscillations croît.

Le potentiel fourni à un oscillateur étant variable, si on note le courant, on trouve en général que la courbe est représentée par une ligne droite dans tout l'intervalle où les oscillations sont stables. C'est pourquoi l'oscillateur est équivalent à une résistance de charge sur le tube modulateur. Si le temps de décharge du condensateur de grille est appréciable, comparé à celui d'une période basse fréquence, une composante réactive sera introduite et la résistance effective de l'oscillateur sera moindre pour la H. F. que pour la B. F.; mais avec une résistance de grille et un condensateur bien choisis, l'oscillateur constitue pratiquement une résistance pure non inductive. Au point de vue de la lampe modulatrice le circuit devient alors équivalent à celui de la figure 9, où le condensateur d'arrêt est supprimé et le courant à travers la bobine augmenté du courant contenu moyen total, pris par l'oscillateur.

Le type d'oscillateur et le potentiel d'alimentation ayant été choisis, le projet du système modulateur comporte premièrement : la détermination de la résistance effective de l'oscillateur. On peut la trouver en faisant varier le potentiel et en mesurant le changement de courant d'alimentation correspondant à un changement donné du voltage. La résistance effective dépend, entre autres choses, de la résistance de grille, de la résistance d'antenne, du couplage d'antenne et du courant-filament, et si l'un quelconque de ces facteurs a été changé, une nouvelle mesure de résistance s'impose.

Là où les lampes modulatrices doivent travailler au même potentiel plaque moyen que l'oscillateur, la résistance de charge peut se contrôler dans certaines limites, en changeant les réglages à l'antenne; mais si le plein débit de l'oscillateur est désiré, le principal moyen d'obtenir une résistance de charge convenable, doit être d'employer le nombre convenable de lampes modulatrices, comparé à celui des lampes oscillatrices. Ainsi, en doublant le nombre de lampes modulatrices, on double la résistance de charge avec laquelle travaille chaque lampe modulatrice. La résistance de charge par lampe détermine la pente de la caractéristique dynamique; et sa position qui, pour un potentiel d'alimentation donné, dépend du potentiel grille, devra être

choisi de telle façon que lorsque la grille atteint un potentiel négatif égal à deux fois le voltage, le courant-plaque ait la valeur minimum permise en vue de la courbure des caractéristiques de la lampe. L'intervalle de potentiel couvert par la caractéristique dynamique montre le pourcentage de modulation des oscillations qui peut être réalisé sans aller au delà des intervalles convenables des lampes modulatrices. Prenons un exemple et supposons que nous désirions moduler un oscillateur de 250 watts, opérant sous 2 000 volts, et avant une résistance effective d'entrée de 8000 ohms. Nous pouvons essayer d'abord une simple lampe modulatrice du type représenté figure 6, prenant 0,02 ampère comme courant plaque minimum. Pour trouver la tension grille convenable, nous pourrions tracer plusieurs courbes parallèles, chacune correspondant à une résistance de charge de 8000 ohms et choisir celle qui donne des oscillations de potentiel égales au-dessus et au-dessous de 2000; mais il est plus simple d'essayer plusieurs valeurs de potentiel grille, supposant dans chaque cas que pour le double de la tension grille, le courant plaque est coupé à 0,02 ampère. Cherchons quelle résistance de charge ceci nécessitera et trouvons le potentiel grille qui correspond le mieux à cette résistance de charge.

Par exemple, eu égard à la figure 5, un potentiel de — 50 volts avec 2 000 volts sur la plaque, donne un courant plaque de 0,095 ampère. Un potentiel grille de — 100 volts et un courant plaque de 0,02 ampère correspond à 2500 volts sur la plaque; une caractéristique dynamique passant par ces deux points correspondra à :

$$\frac{2\,500-2\,000}{0,095-0,02}=6\,660 \text{ ohms}.$$

Les essais peuvent se mettre sous forme de tableau.

\mathbf{F}_{g}	\mathbf{E}_{t}	Ip	R
-50	2 000	0,095	6.660
-100	2500	0,02	0.000
-55	2 000	0,079 1	11.800
110	2 700	0,02	11.000
-52	2 000	0,09	8.300
- 104	2 580	0,02	0.300

La dernière valeur est suffisamment rapprochée de 8000 ohms. Une caractéristique dynamique de 8000 ohms passant par le point Ep=2000, Ip=0.09 coupera la courbe 1400 volts à Ip=0.165 et la courbe 1200 volts à Ip=0.19. En réunissant ces deux points, et pre-

nant l'intersection de la droite qui les joint avec l'axe vertical pour E=0, on a Ip=-0.17 et Ep=1.360. Donc avec une lampe modulatrice nous pouvons contrôler le potentiel oscillant, en bas, jusqu'à 1.360 volts et en haut jusqu'à 2.580. Eu égard à la courbure légère, des oscillations égales de grille ne donnent pas exactement des oscillations de plaque égales dans les deux directions. Prenant la moyenne des écarts qui est de 610 volts, nous pouvons dire que la modulation est de $\frac{610}{2000}$ ou de 30.5 pour 100. On ne peut pas obtenir de modulation

supérieure avec un seul tube modulateur.

Les caractéristiques des lampes oscillatrices montrent, en général, que pour la plupart de l'intervalle de stabilité, le courant d'antenne fonction du potentiel d'alimentation est représenté par une ligne droite. Ceci étant le cas, il n'y a pas de distorsion introduite de ce fait, excepté celle due à la courbure de la caractéristique dynamique de la lampe modulatrice. Cette distorsion est compensée par les caractéristiques des détecteurs utilisés dans les montages récepteurs qui rectifient les courants forts plus efficacement que les courants faibles. Supposons par exemple que le courant rectifié soit proportionnel au carré de l'amplitude des ondes incidentes, loi de proportionnalité qui représente suffisamment bien l'action de la plupart des détecteurs pour les signaux faibles. La relation entre le potentiel grille modulateur et le courant détecté du récepteur serà la suivante :

Potentiel de grille à la modulatrice	O	-52	- 104
Potentiel d'alimentation plaque de l'oscilla-			
teur (proportionnel à l'amplitude d'oscilla-			
tion) .	1360	2 000	2580
Carré du potentiel oscillant : 106 (proportion-			
nel au courant détecté du récepteur) .	1,85	4	6,65

Ceci montre une variation d'oscillation de 2,15 dans un sens et de 2,65 dans l'autre. S il n'y avait eu aucune courbure dans la caractéristique de la lampe modulatrice, et si le bond de potentiel plaque avait été de 610 volts dans chaque sens, les facteurs carrés des potentiels auraient été égaux à

c est-à-dire un bond de

2,06 dans un sens et de 2.8 dans l'autre, c'est-à-dire une onde plus grande de distorsion qu'avec la caractéristique incurvée du modulateur.

De combien pouvons-nous augmenter la modulation en ajoutant une seconde lampe modulatrice. Avec deux lampes modulatrices la résistance de charge pour chacune des lampes est de 16 000 ohms; et nous trouvons à nouveau par des essais, le potentiel grille qui convient.

$$\begin{array}{c|cccc} E_q & E_h & I_h & R \\ \hline -60 & 2\,000 & 0.06 \\ -120 & 2\,900 & 0.02 \\ \hline -57 & 2\,000 & 0.07 \\ \hline -114 & 2\,790 & 0.02 \\ \end{array}$$

La caractéristique dynamique pour 16000 ohms passant par le point Eg = -57, Ip = 0.07, coupe l'axe Eg = 0 au point Ip = 0.124 Ep = 1 120. A vec une oscillation de potentiel de 790 volts dans un sens et de 880 volts dans l'autre, la modulation moyenne est de $\frac{640}{2000}$ = 0,422 ou 42 pour 100, au lieu de 30,5 pour 100 avec une seule lampe modulatrice. Quand on réduit le potentiel d'alimentation, le pourcentage de modulation qui peut être atteint avec un nombre donné de lampes est moindre. Par exemple, si le potentiel d'alimentation était de 1600 volts, et si l'on prend à nouveau la résistance effective égale à 8000 ohms, nous trouvons qu'avec, une lampe modulatrice et un potentiel grille de - 38 volts, nous pouvons obtenir une modulation de 27 pour 100 et avec deux lampes modulatrices et une tension grille de — 42 volts, nous pouvons moduler 40 pour 100. Dans les deux cas, à 1600 volts et à 2000 volts d'alimentation, l'addition d'une lampe modulatrice double environ la puissance basse fréquence délivrée par un montage récepteur.

La question de savoir « quel taux de modulation sera essayé » est une de celles qui a été beaucoup discutée. On doit se rappeler que la modulation de 40 pour 100 qu'on vient précisément de calculer s'applique aux valeurs extrèmes de basse fréquence, et avec la plupart des mots et de la musique ne représente qu'une modulation moyenne de moins de 5 pour 100, ce qui est faible comparé à la plupart des résultats radiotéléphoniques.

Dans la plupart des montages récepteurs le courant détecté varie comme une fonction où entre un exposant intermédiaire entre la première et la deuxième puissance de l'amplitude des ondes incidentes de H. F., il est approximativement proportionnel au carré pour de

faibles amplitudes et plus rapproché d'une fonction linéaire pour des signaux forts. Avec le type de circuit émetteur que montre la figure 11, le but est d'obtenir que l'enveloppe des amplitudes des oscillations donne la forme exacte des courants basse fréquence originaux. Ceci est une conséquence de la reproduction sans distorsion par un récepteur ayant un détecteur à caractéristique linéaire, c'està-dire donnant un courant rectifié directement proportionnel à l'amplitude des ondes H. F. incidentes. Puisque, pratiquement, aucun récepteur n'a cette caractéristique, il en résulte de la distorsion, mais quand on réduit le pourcentage de modulation, la distorsion diminue jusqu'à ce que, pour une modulation de 10 pour 100, il n'y ait pratiquement plus aucune importance que le récepteur ait ou n'ait pas un détecteur « à loi linéaire » ou à loi « expotentielle ». Ceci a été employé comme une raison pour limiter la modulation à une valeur très faible - peut-être à 10 ou 20 pour 100 sur les crêtes. Mais il y a des raisons en faveur d'une modulation plus grande, particulièrement si le but est d'obtenir la réception la meilleure possible avec une puissance rayonnée moyenne donnée. En premier lieu, la distorsion qui intervient, quand, par exemple, un détecteur à « loi du carré » est utilisé pour recevoir des ondes d'une profondeur modérée de modulation, ne semble pas être telle qu'elle donc être rejetée, et. comme cela a déjà été expliqué, cette distorsion est partiellement compensée par la distorsion due à la courbure de la caractéristique de la lampe modulatrice

En second lieu, il y a un véritable avantage à utiliser une modulation suffisamment profonde, parce que le rapport du son à recevoir aux bruits statiques et interférents, est meilleur avec une modulation forte qu'avec une modulation faible. Ceux qui ont utilisé des montages récepteurs admettront probablement que les passages doux des morceaux de musique sont rarement aussi satisfaisants à écouter que les morceaux les plus hauts. Le « souffle » qui se produit fréquemment alors, est dù à ce qu'on s'écarte de la portée de travail des lampes modulatrices ou qu'on surcharge une portion quelconque du système, plutôt qu'à la grande modulation elle-même.

Il semblerait, alors, qu'une capacité du modulateur égale à deux ou même quatre fois la capacité de l'oscillateur soit désirable dans le cas des lampes utilisées dans nos schémas. Le degré de modulation qu'on peut atteindre est augmenté en utilisant des lampes à faible impédance et augmente avec le voltage, jusqu'au point où il est nécessaire de réduire le courant-plaque moyen des lampes modulatrices, au-dessous de la valeur qui surchaufferait la plaque.

Ampèremètres de plaque et de grille.

Il est bon de construire les premiers étages d'un amplificateur de puissance, avec une grande marge, de façon que si une lampe est surchargée, ce sera le tube à l'étage de puissance. Un indicateur très satisfaisant, qui montre lorsque l'intensité dépasse la capacité en ligne droite de l'amplificateur, consiste en un milliampèremètre dans le circuit-grille et en un ampèremètre dans le circuit-plaque. Si la grille oscille positivement par rapport au filament, le milli de grille dévie, et peut-être aussi l'ampèremètre de plaque, tandis qu'une oscillation négative trop forte causera une déviation de l'ampèremètre-plaque. Une écoute attentive révèlera une altération de qualité disparaissant aussitôt que l'intensité est réduite jusqu'au moment où l'ampèremètre cesse d'indiquer une perturbation. L'écoute seule n'est pas suffisante puisque la distorsion n'est pas décelée, ni aussi vite, ni aussi sûrement, particulièrement eu égard à une fatigue de l'attention, et si la distorsion est notée à l'oreille, sa cause pourrait en être aussi quelque part ailleurs dans le système.

Lampes en parallèle.

L'augmentation de débit d'un amplificateur de puissance obtenu en ajoutant des lampes de puissance en parallèle, n'est souvent pas satisfaisante, le gain étant faible comparé à celui qu'on peut obtenir en augmentant le potentiel, ou bien avec des lampes de haute intensité. Néanmoins, il y a des cas où il est désirable d'utiliser plusieurs lampes en parallèle Avec une impédance de charge égale déjà à plusieurs fois la résistance de la lampe, ce qui est le rapport convenable pour obtenir le maximum de débit, l'addition d'une seconde lampe en parallèle ne donnera pas d'augmentation appréciable de débit, mais si on règle à nouveau l'impédance de charge à la moitié de la valeur précédente, on peut obtenir deux fois plus de débit de puissance correspondant à environ 40 pour 100 d'augmentation d'amplitude de son, ce qui est sensible, mais non une différence marquante.

Lorsque plusieurs lampes sont connectées en parallèle, elles peuvent former un système oscillant et occasionner des oscillations haute fréquence. L'éventualité en est moindre lorsque les fils de connexion sont très courts, mais pour des lampes à grande puissance il est souvent nécessaire d'employer un moyen quelconque d'arrêter les oscillations parasites, tel qu'une résistance ou une bobine connectée en série, tout près de la grille de chaque lampe. Quelques spires de fil sur un petit noyau de fer suffira, puisqu'une telle bobine introduit

une résistance effective élevée aux courants de fréquence extrêmement élevée dont il s'agit

Connexions entre étages.

Avec une alimentation en haut voltage, telle que celle qui est nécessaire pour les lampes de puissance, la construction de l'étage précédent de l'amplificateur est simple.

Un couplage résistance-capacité peut être utilisé avec une résistance-plaque suffisamment élevée pour obtenir les trois quarts ou les quatre cinquièmes de l'amplification maximum de la lampe. Dans ces conditions, et avec des lampes à grande amplification, il n'y a que de faibles raisons d'utiliser le couplage par transformateur. En s'en tenant à l'amplificateur couplé par résistance-capacité, il faut se rappeler les points suivants :

- 1 La réactance du condensateur de couplage, pour la fréquence la plus basse à passer, doit être moindre que la résistance mise sur la grille
- 2 Aucune grille ne doit osciller positivement par rapport à l'ex trémité négative du filament, ou, en d'autres termes, le potentiel mis sur la grille doit être supérieur à l'oscillation extrème de grille exigée. Ceci ne s'applique pas aux lampes détectrices;
- 3 Si l'observation de l'oscillation du potentiel-plaque d'une lampe quelconque montre qu'elle est supérieure à 20 pour 100 du voltage moyen mis sur la plaque, ou si le courant-plaque est très faible, on dessinera la caractéristique dynamique pour s'assurer de la proportionnalité constante entre les oscillations des potentiels-plaque et grille La résistance de charge est celle de la résistance de plaque alimentée et de la résistance de grille de la lampe en parallèle voisine;
- 4º Si une batterie de lampes de puissance en parallèle est utilisée, de sorte que les grilles constituent une charge capacitive considérable, ou bien si une quelconque des lampes précédentes a une résistance interne très élevée, ou bien si les lampes sont alimentées à travers des résistances de plaque très élevées, on doit faire le calcul de l'amplitude de la charge capacitive pour la fréquence la plus élevée qui doit passer dans l'amplificateur. Étant donné que le potentiel-plaque oscille en même temps, la capacité efficace de la grille d'une lampe peut être plusieurs fois supérieure à la capacité de grille mesurée entre la plaque et le filament mis à la terre. La réactance de capacité de la grille doit être élevée, comparée à la résistance de plaque interne et externe ajoutées, de la lampe qui précède; autrement de la distorsion peut en résulter, ou bien à cause d'une amplification réduite des

fréquences élevées, ou bien parce que la caractéristique dynamique actuelle est plus à pic qu'on ne l'a estimé (impédance de charge plus faible), d'où une courbure résultante.

Avec une source ordinaire de potentiel plaque, pour toutes les lampes d'un amplificateur à plusieurs étages, il peut se produire un retro-couplage conséquemment accompagné d'oscillations, sur la ligne d'alimentation-plaque, s'il y a suffisamment de résistance dans la ligne d'alimentation, de sorte que le courant-plaque des étages de puissance affecte matériellement le potentiel de la ligne d'alimentation.

Si un tel couplage se produit, il suffit de se procurer une ligne à résistance plus faible, ou de réduire les variations de potentiel amené aux lampes précédentes, particulièrement à la deuxième lampe, précédant les lampes de puissance, par des filtres ou des connexions potentiométriques. Les filtres, quand ils sont constitués par une résistance en série et une capacité en shunt, doivent être efficaces à une fréquence aussi basse que la plus basse de celles où une amplification appréciable se produit. C'est pourquoi on simplifie le filtre, en le construisant pour qu'il arrête toute fréquence plus basse que celle rée'lement requise

Il est plus facile d'obtenir une oscillation donnée de potentiel sur la grille de la lampe de puissance, avec une connexion à résistance qu'avec un transformateur entre étages, malgré l'augmentation due au rapport de transformation du transformateur. Ceci parce que, même les transformateurs les mieux faits, laissent s'échapper une impédance comparable à la résistance de la lampe en haute fréquence, fait dù à la capacité du circuit secondaire, et dù, en basse fréquence, au courant magnétisant. Cette faible impédance de charge sur la lampe, peut réduire beaucoup la variation du potentiel-plaque qu'on peut obtenir sans distorsion.

Transformateurs de sortie.

Si le débit de l'étage de puissance alimente un transformateur, la construction de ce dernier suit les principes généraux de la construction du transformateur basse fréquence résumés comme suit :

- 1° L'impédance aux bornes de la lampe est approximativement égale à l'impédance de charge multipliée par le carré du rapport de transformation, et on peut le choisir tel, qu'il donne à la lampe l'impédance voulue;
- 2º Le secondaire étant en circuit ouvert, la réactance du primaire doit être au moins égale à l'impédance de charge effective sur le côté primaire, pour les fréquences les plus basses à passer;

- 3° La réactance des enroulements trouvée en mesurant la réactance de l'un d'eux, l'autre enroulement étant court-circuité, doit être faible, comparé à l'impédance effective de charge, pour les fréquences de travail les plus élevées;
- 4° La perte dans les enroulements doit être faible comparée à la puissance fournie à la charge ;

5° Si la composante en courant continu est suffisante pour saturer le noyau, on trouvera souvent que le même nombre de tours donne une inductance plus élevée, lorsqu'on a fait une coupure dans le circuit magnétique. Cette coupure doit être juste suffisante pour empêcher la saturation.

L'inductance pour un nombre de tours donné est alors pratiquement proportionnelle à la surface de la section droite du noyau, et un transformateur lourd est le prix que l'on paie pour obtenir de l'efficacité. Si la coupure d'air est très courte (2 millièmes de pouce ou 5 millièmes de centimètres, ou moins), il peut y avoir avantage à utiliser, pour le noyau, une matière à perméabilité suffisamment élevée, tandis que pour des coupures plus larges (0.010 pouces ou 0.025 centimètres ou plus) de l'acier ordinaire de transformateur est suffisant.

E. W. KLILOG.

REMARQUES & HYPOTHÈSES SUR LE «FADING»

Par Léon DELOY 8AB.

SOMMAIRE. — L'article contient quelques observations relatives aux écoutes sur différentes longueurs d'onde. Basée sur ces remarques, l'hypothèse est émise que la fréquence du fading varie dans le meme sens que la fréquence de l'onde observée.

Presque tous ceux qui écoutent régulièrement des postes radiotélégraphiques travaillant sur ondes longues prétendent que ces ondes sont exemptes de fading.

Au contraire, de tout temps on a été d'accord pour affirmer que le fading est très sensible sur les ondes de l'ordre de quelques centaines de mètres (en particulier 600 et 300 mètres employés dans la marine marchande); c'est même là l'une des principales raisons pour lesquelles les ondes de 200 mètres furent considérées comme absolument inutilisables pratiquement et accordées aux amateurs. L'expérience confirma en grande partie cette manière de voir puisque, malgré les portées

considérables obtenues sur 200 mètres par les amateurs, et malgré les immenses efforts qui furent faits des deux côtés de l'Atlantique pendant deux ans, aucune communication bilatérale ne put être réalisée sur cette onde.

Aussi lorsqu'en novembre 1923, grâce à l'emploi d'ondes voisines de cent mètres, je réussis la première communication transatlantique réalisée avec quelques centaines de watts d'énergie, mon correspondant et moi fûmes frappés de l'absence apparente totale de fading. Cette qualité des ondes très courtes était en contradiction absolue avec les suppositions qu'on avait faites à leur égard; elle les rendait éminemment intéressantes puisque utilisables, commercialement et le monde entier se mit à les étudier et à les employer avec la frénésie que l'on sait.

Pourtant sont-elles réellement exemptes de fading et les ondes longues le sont-elles plus qu'elles? Je commence à croire qu'il est permis d'en douter. D'ailleurs, ne semble-t-il pas étrange à première vue que le fading se localise sur une gamme plus ou moins restreinte de longueurs d'ondes? N'est-il pas plus vraisemblable qu'il affecte toutes les ondes, mais d'une manière différente selon leur lorgueur?

Voici quelques remarques faites au cours de très nombreuses heures d'écoute effectuées avant, pendant et depuis la guerre et qui m'ont amené à me poser les questions ci-dessus

Avant la guerre, l'écoute des côtiers et navires travaillant sur 600 et 300 mètres me fit connaître le fading proprement dit

En 1917, en écoutant en France les grands postes américains sur 12.000 mètres environ, puis en Amérique les grands postes européens sur 15.000 mètres environ, je remarquais, comme tous ceux qui ont écouté ces postes, que l'intensité de réception n'était pas constante et qu'en dehors des variations diurnes à peu près régulières, il y avait des heures et des jours où la réception était meilleure que d'autres.

D'autre part, en écoutant fréquemment, l'hiver dernier, la téléphonie de KDKA, Pittsburg, Pensylvanie, sur onde voisine de soixante mètres, je constatais qu'elle était presque toujours forte, mais aussi que la parole était rarement compréhensible, la modulation semblant très mauvaise. Or, je sais qu'à l'émission la modulation est très bonne. D'où peut venir cette déformation en route? Ne pourrait-elle être produite par du fading à grande fréquence dont la période serait par exemple de l'ordre d'une petite fraction de seconde? On aurait alors une sorte de modulation supplémentaire se superposant à la modulation originale et la rendant incompréhensible.

En résumé, les observations ci-dessus ne portent-elles pas à croire

que la fréquence du fading varie dans le même sens que la fréquence de l'onde observée? Si cela est vrai on aurait pour les ondes de l'ordre de plusieurs milliers de mêtres un fading dont la période scrait de plusieurs heures ou même de plusieurs jours. Pour les ondes de quelques centaines de mètres, le fading a, en général, comme tout le monde l'a observé, une période d'un certain nombre de secondes. Quant aux ondes de quelques dizaines de mêtres de longueur, le fading aurait une période d'une faible fraction de seconde seulement.

Cette grande fréquence du fading des ondes très courtes expliquerait qu'il ait passé jusqu'ici à peu près inaperçu. En esset, dans la plupart des cas, lorsqu'on écoute les signaux d'un poste à très courte longueur d'onde, il est impossible de remarquer un fading d'une aussi grande fréquence, car la tension plaque employée à l'émetteur est très rarement rigoureusement continue et toute irrégularité perçue à la réception est naturellement attribuée à une modulation plus ou moins accidentelle de la tension de plaque de l'émetteur (courant de plaque imparfaitement siltré). Il serait sort intéressant de saire émettre à grande distance une onde entretenue rigoureusement pure et de l'enregistrer au moyen d'un oscillographe à la réception, on verrait alors s'il y a ou non fading à grande fréquence.

Je me souviens avoir lu un article où l'auteur affirmait ne jamais avoir entendu une onde entretenue très courte vraiment pure. Personnellement, je n'ai pas fait d'observations spéciales dans ce sens, mais je ne me rappelle guère qu'un poste dont les signaux soient, autant que je m'en souvienne. très purs, c'est NKF, le laboratoire de la Marine Américaine à Bellevue près de Washington, mais ce poste émet avec plusieurs kilowatts et il est tellement fort que de faibles variations d'intensité, si elles ont lieu, sont sans doute imperceptibles à l'oreille.

Si la fréquence du fading varie réellement dans le mème sens que la fréquence du signal observé, quelle en est la cause et pourquoi en est-il ainsi? Il est trop tôt, je pense, pour chercher a résoudre ces questions, il faut d'abord être fixé sur le premier point; aussi j'espère que parmi les lecteurs de cette note il s'en trouvera que la question intéressera suffisamment et qui disposeront du matériel necessaire et du temps voulu pour faire des observations qui confirmeront ou infirmeront mon hypothèse.

Léon Di Loy.

Union Radiotélégraphique Scientifique Internationale

Diagramme des champs électriques mesurés à Meudon pendant le deuxième trimestre 1925.

Les diagrammes ci-après donnent les champs électriques, en microvolts par mètre, de Bordeaux (LY), Nantes (UA), Rocky Point (WQL), Rome (IDO) et Leafield (GBL). Ces éléments ont été mesurés à Meudon par la méthode indiquée au n° 1 de l'Onde Électrique (janvier 1922).

Les résultats des mesures précédentes sont contenues dans les numéros 10, 17, 22, 25, 31, 35, 37 et 44

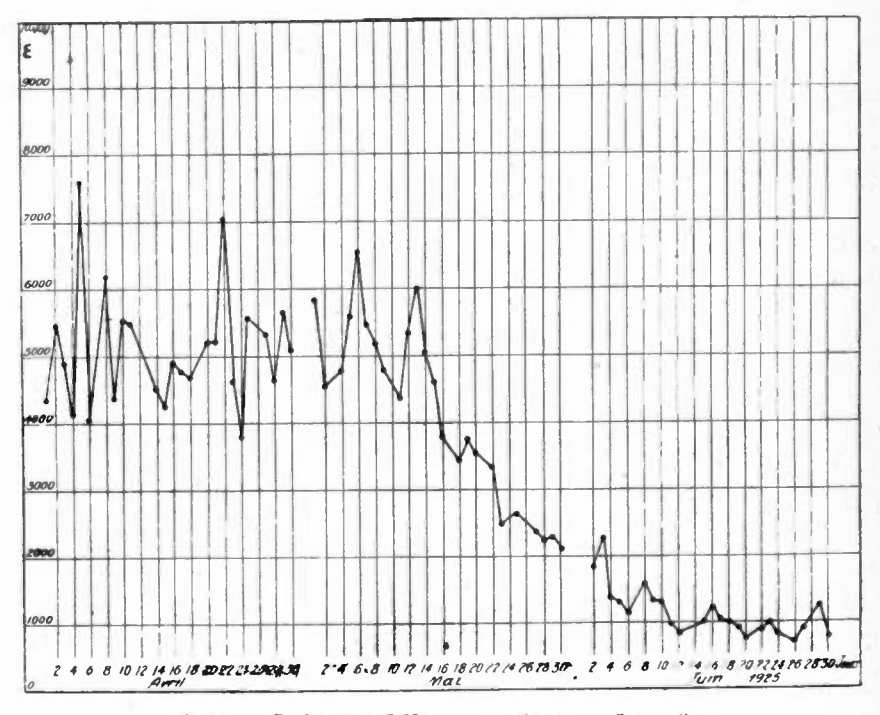


Fig. 1. — Lafayette (LY) $\lambda = 18\,900^{\text{m}}$ $I_m = 480\lambda$

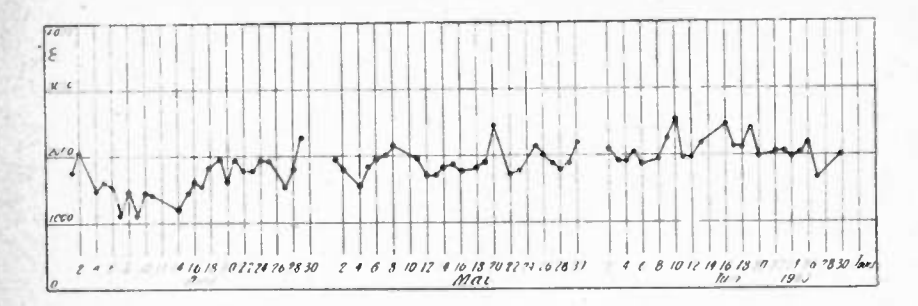


Fig. 2. — Nantes (UA) $\Lambda = 9 \cos^m - 1_m = 280_A$

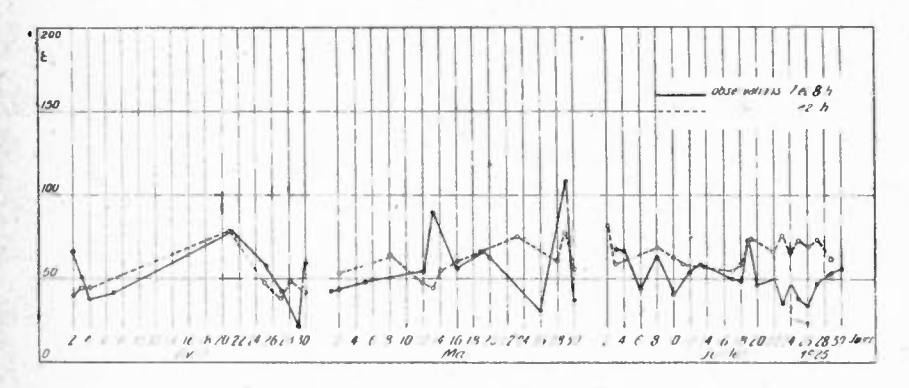


Fig. 3 — Rocky Point (WQI) $\Lambda = 17610^m$ $l_m = 6 c_0$.

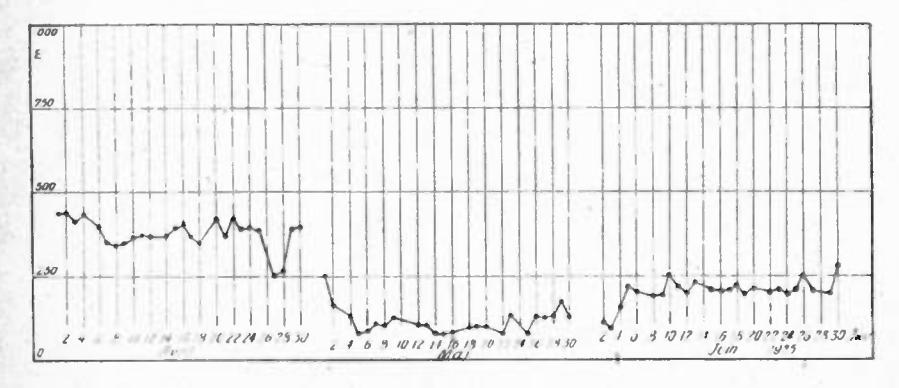


Fig. 4 — Rome (IDO) $\lambda = 10.850^{m}$ $l_m = 100_{A}$.

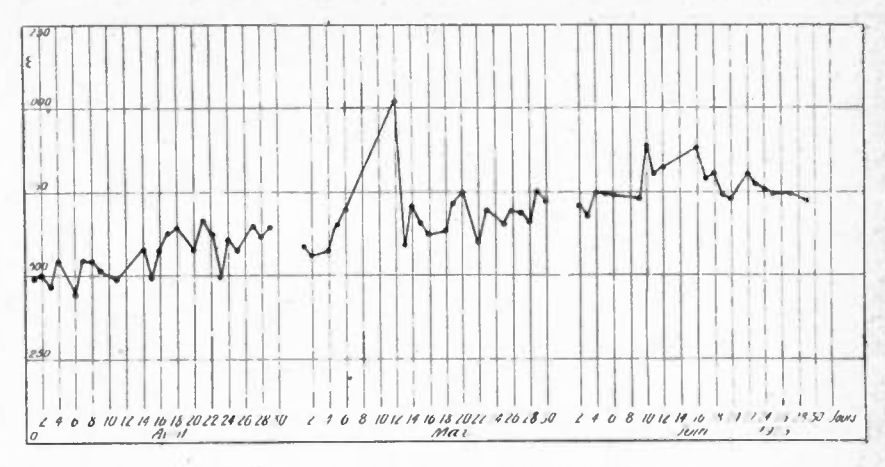


Fig. 5 — Leafield (GBI) $\lambda = 12.350^{\circ}$ $I_m = 2104$

SOCIÉTÉ DES AMIS DE LA T. S. F.

Réunion du mercredi 16 décembre 1925.

Liste des nouveaux sociétaires.

MM. Passerat de Silans (Humbert), capitaine de corvette 7 rue d'Odessa, Paris-14'.

Dubail (Albert), ingenieur. Service radioélectrique de l'Indochine Hanoi.

Picault (Édouard), ingénieur en chef des postes et télégraphes 17, rue Auguste Comte, Lyon (Rhéne).

Ollat (Louis), professeur de physique, 63, rue du Président-Wilson, Sainte-Marie-aux-Mines (Haut-Rhin)

Caillat (copitaire chef du Service radiotelegraphique de l'unisie l'unis

Tchang-Ritsimu, etudiant 14 rue Rollin Paris 50

Meniga (Josip), officiei de marine, Jemure Odelenje za Mornaricu Yougoslavie

Bloemsma (Jau), ingenieur radio 107, Larizlaan, La Have (Hollande)

Communications.

Continuation de la discussion sur le Radio-modulateur Bigrille.

Observations de MM Leduc, de Mare, Levy, Barthelemy.

Communication du Capitaine Burry

Essais sur ondes courtes effectués à bord du « Jacques-Cartier ».

D'octobre 1924 a juin 1925, le « Jacques-Cartier » a assuré, pendant plusieurs voyages sur l'Atlantique et le Pacifique, un certain nombre d'émissions méteorologiques quotidiennes sur ondes courtes (115 m., 62 m., 48 m., 31 m.). Ces émissions ont été écoutées en France, au Maroc et aux États-Unis. Inversement, le « Jacques-Cartier » a assuré l'écoute de radiogrammes méteorologiques sur ondes courtes transmis de France et des États-Unis.

Réunion du mercredi 20 janvier 1926.

Conférence de documentation de M. P. DAVID

Filtres électriques.

Communication de M. Colmant

Compte rendu d'études expérimentales sur la propagation des ondes courtes.

CONFÉRENCES DE DOCUMENTATION

Les progrès réalisés depuis quelques années dans toutes les branches de la Radioélectricité sont considérables et les vues nouvelles s'étendent dans des directions de plus en plus nombreuses. Les documents relatifs à toutes les nouveautés sont épars dans une multitude de revues écrites en toutes langues. L'acquisition de ces documents est coûteuse et souvent difficile; leur lecture est impossible pour beaucoup.

Aussi le bureau de la Société des Amis de la T. S. F. a-t-il demandé à quelques spécialistes de bien vouloir faire dans le domaine de la Radioélectricité un travail analogue à celui effectué à la Sorbonne depuis trois ans, dans le domaine de la Physique générale.

A partir de janvier, l'une des communications de chacune des réunions de la Société sera consacrée à des conférences documentaires. Ces conférences qui comporteront une bibliographie aussi complète que possible et un examen critique des sujets seront régulièrement publiées dans l'Onde Électrique.

Dès maintenant nous pouvons annoncer les conférences suivantes :

de M BURIAU sur Les Atmosphériques;

M. CHIREIX - Les Ondes courtes;

M. DAVID - Les Filtres;

M. Jouaust - Les Progrès dans les tubes électroniques;

C' JULIEN — Les Émissions Radiotélégraphiques et Radiotéléphoniques;

M. Langs - La Haute fréquence sur lignes;

M. Mesny - La Propagation des ondes.

INFORMATIONS & CORRESPONDANCE

Constitution de l'Union Radiophonique de France. — Statuts (deposes le 30 juillet 1928 sous le 1º 163-748, a Paris)

Article premier — Il est forme entre les personnes et les delegues des groupements adherant aux presents statuts, une Association placee sous le régime de la loi du 1º juillet 1901.

Art. 2. — Cette Association prend le nom de :

Union Radiophonique de France.

Ait. 3 - Lile a pour but de developper les émissions radiophoniques en France, en contribuant a l'entreuen des postes existants et a la creation de postes nouveaux, en etablissant entre les personnalites eminentes qui s'intéressent a la Radiophonie les usagers, les groupements d'amateurs, d'artistes, de musiciens, d'auteurs, les industriels et commercants les representants de la presse radiotechnique, et plus genéralement les representants de tous les interets materiels et moraux lies au developpement de la radio-diffusion, des relations amicales et une cooperation artistique, littéraire, technique et financiere, et toutes les operations se rattachant directement ou indirectement a cet objet.

Ait 1 Le siège social est fixé a Paris, 21, 100 Auber. Il pouria etic deplace dans Paris par simple décision du Comite defini à l'article 7 ci-après

Art. 5. - La durée de l'Association est illimitée

Art o - L'Union Radiophonique de France compiend

10 des membres d'honneur ne payant pas de cousa ion et n'ayant aux Assemblees que voix consultaine.

2) des membres actifs astremts a une extisacion et paracipant aux Assemblees avec voix deliberative

39 des membres do la cuis et bienfaiteurs nommes en consideration de services rendus a l'Union, par l'Assemblee generale sur proposition du Comite.

Art 7 - I Union estadministree par

un Comite de dix membres au moins et trente au plus, nommes pour un an par l'Assemblee generale

Art. 8. - Le Comite choisit dans son sein un Bureau compose de

Un president, qui represente l'Union en toutes circonstances, il ne peut toutefois la representer officielleme it sans etre accompagne de deux Vice-Presidents

Cinq Vice-Presidents qui assistent ct au besoin suppleent le President.

Un Secretaire charge de la préparation et des proces-verbaux des Assemblees et des reunions du Conseil et de la correspondance de l'Union

Un Tresorier qui perçoit les cotisations et gere les tonds de l'Union sous le controle du Comite, il ne peut engager de depenses sans l'autorisation de ce dernier et le contre-seing du President

Art 9 — Les fonctions du President et des Vice-Presidents sont purement honorifiques. Celles du Secretaire et du Tresorier pourront être retribuées par decision du Comite.

Art 10. — L'Union tient obligatoirement chaque année, en octobre une Assemblée generale ordinaire. Cette Assemblée approuve la gestion du Comite et procéde à son renouvellement les membres sortants e ant recligibles et le vote par procuration ou par correspondance étant idmis.

Art 11 — Il pourra ette tenu des Assemblees generales extraordinaires sur la decision du President ou sur la demande d'un tiers au moins des merbres acuts ou de la moitie au no ns du Connite.

Art 12 — Les membres à tifs ont soils voix deliberative au Assen-blees

Les décisions prises par une Assemblee genérale régulièrement convequée obligent tous les membres de l'Association.

Art 13. — Les ressources de l'Union sont

ENQUÊTE SUR LES RÉCEPTEURS

Il y aurait grand intérèt à pouvoir fixer les limites probables de réception d'un type de récepteur donné. La question est assurément fort complexe et il est peut-être impossible d'y répondre d'une façon suffisamment simple pour que la réponse soit utilisable; cependant, nous demandons à tous les membres de la Société qui s'occupent de réception, de vouloir bien nous aider à recueillir les renseignements qui fixeront sur ce point. Les indications qu'ils nous enverront devront être précises et condensées. Il ne s'agit pas de faire connaître des records qui tiennent autant du hasard que de l'habileté de l'opérateur, mais seulement de renseigner sur les résultats normaux, renouve-lables chaque jour dans les conditions normales, indépendantes de l'observateur

Dans ce but, nous prions nos collègues de vouloir bien nous faire connaître quels sont les postes publics, français ou étrangers, de radiotéléphonie qu'ils reçoivent convenablement avec leurs appareils. Par réception convenable, nous entendons qu'une fois le récepteur réglé, les paroles peuvent être parfaitement suivies et comprises chaque fois qu'il n'y a pas d'évanouissement de l'émission.

Nos correspondants voudront bien rédiger leurs réponses avec concision, dans l'ordre suivant, sans omettre aucun des renseigne ments demandés, sans en ajouter d'inutiles.

1. Emplacement du récepteur : Ville, village et département o province.

2. — Type d'amplificateur : Par exemple, une détectrice à réactio ou deux haute-fréquence à résonance, une détectrice, deux basse fréquence à résistance, etc.

3. — Collecteur d'ondes : Cadre, son damètre. Antenne intérieu ou extérieure, sur une maison ou dans un terrain dégagé; hauteur ve ticale de la borne du récepteur à la nappe; longueur et constituti de la nappe, terre ou contrepoids, distance verticale de l'une ou l'autre à la borne du récepteur. Emploi des conduites d'eau, de gaz d'électricité.

Ces indications seront envoyées à l'adresse de M. Mesny, 21, 1 Jacob, Paris (6°).

Les cotisations, dont le taux est fixe par l'Asssemblee génerale et revisé chaque année

Pour le premier exercice, qui prendra fin a l'Assemblee generale d'octobre 1925, ces consations sont fixees comme

Pour les membres actifs commercants versement mensuel egal a 1 pour cent du chiffre d'affaires realisées dans le mois precedent en T S F, et en France, a l'exclusion des affures d'exportation

Pour les membres actifs non commercants to francs par annee ou fraction d'annee.

2º Le produit d'operations spéciales telles que fêtes, conferences, etc.

3º Les revenus des biens de toute nature en la possession de l'Union.

All 11 - Les adhesions, demissions et radiations sont reçues ou proposces par le Comite et ratifices pur 1 Assemblee.

Art. 15. - Les statuts ne pourront the modifies que par une Assemblec generale extraordinane reunissant au moins la moitie des membres actifs Cette decision ne pourra être prise qu'a la majorité des deux tiers au moins des membres presents a l'Assemblee.

Art 16. La dissolution de l'Union ne pourra etre decidee que dans les conditions prevues par l'article precedent pour les modifications aux statuts

L'actif net au jour de la dissolution scra reparti entre les postes emetteurs de adiophonie suivant decision de l'Assemblee qui votera la dissolution

Art. 17 - L'Union soumettra toutes ses operations au controle et à l'approbation des pouvoirs publics. Elle sollicitera sa reconnaissance d'utilité publique, le patronage de l'Etat et sa representation dans le Comite et une subvention budgetaire

Art 18 — Un reglement interieur detaille sera elabore par le Comite et soumis a la ratification de l'Assemblee generale ordinane qui suivra le premier exercice annuel complet.

Art 19. - Les contestations relatives a l'application des presents statuts scront soumises aux tribunaux competents du departement de la Seine

Art 20 - Pour Laccomplissement des formalités de depot et de publication prevues par la lor, tous pouvoirs sont donnes au porteur d'un exemplane des presents statuts

Composition du Comite

Président M. Belin, Vice-Prosi dents MM. Dupuy, Fageau, Franchette, Levy, Roussel, Trésoner M. Olivetti, Secretaire M. Regissacri, Membres MM. Ancelle, Dubois, Givelet, Guerlais, Levy-Bloch, Magny, Montastici, Sandemont

Les cotisations doivent être adressées 21, rue Auber, Paris.

Examen d'aptitude à l'emploi de radiotélégraphiste de bord. — Des sessions d'examen auront heu a Marseille le 12 janvier 1926, al Ecole Nationale de Navigation Maritime, is rue des Convalescents, a Paimpol, le 26 et 27 janvier a l'Icole Nationale de Navigation Maritime, a Bordcaux, le 2 ct 5 fevrier, a la Faculte des Sciences, Cours Victor Hugo, a Saint-Malo, le 9 et 10 fevrier, a l'Ecole Nationale de Navigation Maritime.

Les candidats devront être munis de papier, porte-plume et encre

L'examen commencera a 9 heures Les dossiers des candidats, complets et reguliers, constitues conformement a l'article 5 de l'arrete du 16 novembre 1923, devront parvenir dix jours avant la date fixee pour l'evamen au Service de la Telegraphie sans fil, 5, rue Froidevaux, Paris (XIV). Passe ce delai, les declarations de candidatures ne scront plus acceptees

Les candidats qui se sont presentes aux examens anterieurs et dont les dossiers sont en instance au Service de la Telegraphie sans fil, transmettiont simplement leurs demandes dument etablies sui papier timbre a 2 fr. 40, en rappelant que les autres pièces ont ete adressees antérieurement, et en indiquant à nouveau la classe du certificar à laquelle ils prétendent

Si les candidats sont déja titulaires d'un certificat de radiotelégraphiste de bord (2º classe A, 2º classe B, ecouteui), mention devra en etre faite egalement sur la demande

La Navigation aérienne et l'Espéranto. - L' « Association scientifique espérantiste » a presente au III Congres international de la Navigation aerienne, qui vient de se tenir a Bruxelles, un vœu signe egalement des Aero-Clubs de France et d'Espagne et d'un certain nombre de personnalites françaises et espagnoles de la science et de l'aeronautique parmi lesquelles M. M. Archdeacon. Daniel Berthelot. Juan de la Cierva, genéral Delcambre, Robert Esnault-Pelterie, Henry Faiman, commandant Emilio Herrera. Lallemand, colonel Paul Renard, Charles Richet, Torres y Quevedo

Ce vœu, qui a ete adopte par le Congrès, est le suivant

« Le IIIº Congres international de la Navigation aerienne, considerant les grands services que rendrait à l'aeronautique l'usage de la langue auxiliaire « Espéranto » dans les relations internationales, decide de nommer une Commission internationale chargee de déterminer et de proposer les mesures pro pres a introduire et à developper

l'emploi de l'esperanto comme langue technique de la navigation aérienne, et prie MM. Torres Quevedo, Colonel Paul Renard, commandant Emilio Herrera, Henry Kapferer, Ernest Archdeacon et l'ingenieur general de la marine Maurice Rollei de l'Isle de la constituer, en s'adjoignant les competences qu'ils jugeront utiles.

L'Espéranto et les relations télégraphiques internationales. — La XIº Conference de l'Union telegraphique universelle, qui vient de se tenir a Paris a officiellement admis l'esperanto comme langage clair pour les relations telegraphiques internationales Cette proposition a eté appuyce par les Delegations française, tehecoslovaque, hongroise et sovietique.

La V Assemblee de la Societe des Nations avait adopte une recommandation dans ce sens en 1924 et la Chambre de Commerce de Paris avait egalement demande, en 1925, cette reconnaissance en faveur de la langue auxiliaire internationale.

TABLE DES MATIÈRES DU TOME IV

MESURES

B Dubois. — Mesure des taux de modulation et comparaison des intensités de réception, au moyen d'un nouvel oscillographe électromagnetique, pp. 14-30

J. Groszkowski. — Determination du rendement d'un generateur à lampes

par la methode thermométrique, pp. 82-87.

- Etalonnage d'un système thermo élement galvanometre, pp. 133 148. DAVID, DUIOUR, MISNY. - Etude oscillographique de la super reaction,

pp. 175-200.

R. BARTHELEMY. — Henry metres, Capacimetres, Tellurohmetres, pp. 219-232 Diagrammes des champs electriques mesures à Meudon pendant le dernier trimestre de 1924, pp. 252-255.

Diagrammes des champs electriques mesurés à Meudon pendant le premier trimestre de 1925, pp. 350-352

1. Ollar — Etude experimentale de la resonance des circuits couples, pp. 424-432

E. From — Présentation d'un ondemetre-héterodyne, pp. 433-441.

F. Bedfal. - Mesure de la difference de potentiel maxima aux boines d'un circuit parcouru par du courant alternatif, pp. 462-469.

PROPAGATION

A. Colmant. — Essais entre Paris et Alger sur ondes de 180, 90 et 50 metres, рр. 5-13.

M. LARDRY. — Nouvelle contribution à l'étude de la propagation des ondes. pp. 355-370 et 401-418

TUBES ÉLECTRONIQUES

General FIRRII. — Quelques applications scientifiques des lampes a trois et quatre electrodes associees à des cellules photoelectriques, pp 97-110 Rene Mesny. — Generation d'oscillations polyphasees au moven de tubes electroniques, pp 232-239

J. Bethenon. - Sur une application du générateur polyphasé de M. Mesny,

pp. 239-241

P AMYE - Les phenomenes de résistance négative dans les lampes à deux grilles. Production et utilisation du phénomène, pp. 207-305. D' Balth Van der Por et K. Posthumus. — Un poste d'emission de 200 kilo-

watts pour essais de triodes, pp. 324-342. G Beauvais. - Un procede de chauffage des filaments de lampes triodes

par le courant alternatif du secteur, pp. 343-348. Ch. Lange — Sur la generation d'oscillations polyphasees au moyen de

tubes electroniques, pp. 397-398. Bianchard. — Au sujet du rendement des triodes, pp. 448-449.

R. Mailler. - Etude analytique de l'emission et de la modulation par

lampes triodes, pp. 506-535. D. Balth. Van der Pol et K. Posihumus — An sujet du rendement des triodes, pp. 536-539

RÉCEPTION

From . - Nouveau dispositif de reglage de la reaction, pp 149-154. J. CAYRII. - La galene est elle un redresseur de courant? pp. 155-157. A. Bodin et J. Cavril - Quelques remarques sur le circuit Fromy-Flewelling, pp. 200-203.

ROUGE - Amplificateur a resonances multiples, pp 204 208

F. CHARRON Perfectionnements aux condensateurs à capacite variable, рр. 349 350.

L. Brillouin et E. From. - Les circuits poly-ondes, pp. 371-386 et

419-423. M. ROLLER. — Réglage et mise au point des récepteurs à réaction

pp. 449-451. E-W. Krilog. — Construction d'amplificateurs de puissance sans distoision, pp. 474 491 et 540-552.

RADIOGONIOMÉTRIE

Julio Bustos Navarrii - Observations radiogoniometriques faites a Santiago (Chili) pendant les tempetes du 21 au 25 juin 1925, pp. 447.

ATMOSPHÉRIQUES

R. Burrau. — Onze mois d'observation des atmosphériques (novembre 1923 a octobre 1924), pp 31-43 et 58-69

P. David. - Note sur un nouveau procede de modulation des émetteurs à lampes, pp 470-473

ONDES COURTES

L CHAULARD. — A propos de la propagation des ondes tres courtes dans les tissus vivants, pp. 53-57.

C. Guitor et E. Pierrei - Sur les harmoniques des oscillateurs à ondes

tres courtes, pp. 387-393. M. Tourrou. — Étude experimentale des influences locales sur la réception des ondes courtes, pp 442 446.

RADIOTÉLÉPHONIE

HINRARD. - Le microphone à ruban, pp. 120-122

DIVERS

D' CORREI. Une nouvelle formule d'essais pour les amateurs de transmission et de réception sur ondes courtes. Le concours de « Trafic », PP 44-49-

S. et A. DE HALTOWSKI. — La télegraphie le long des réseaux de distribution de la lumière et de l'énergie, pp. 70-81. Congres de T. S. F., Paques 1925, pp. 91-94

Resultats des Congres internationaux, pp 257 264.

R TABOUS. - La protection de la propriete intellectuelle et artistique et la radiophonie, pp 110-119 et 241 251.

Cours de Radiotelegraphie élementaire, pp. 127-128.

C. R. Bech et Ir.-J. Bloemsma - Une application du periodogramme à la T. S. F., pp. 267-286 et 313 324.

L. Bouthillon - Optique et Radioelectricite, pp. 287 296

3º Conference internationale de T. S. F. tenue a Washington du 6 au 10 octobre 1924, pp. 306 310

J. Bethenop. - Etude d'un circuit oscillant soumis à l'action de deux forces electromotrices harmoniques, pp 304-306.

A. Turpain - Optique et electricité, pp. 453-461. Congres d'amateurs belges de T S. F., pp. 492-494

L. Diroy. — Remarques et hypothèses sur le fading, pp. 552-554.